

UNIVERSITÀ DEGLI STUDI DI VERONA

Sistemi

APPUNTI DEL CORSO

Mattia Zorzan

2 ottobre 2019

Indice

1	Introduzione	3
2	Definizioni	4
3	Tipi di Segnale	6
3.1	Segnali Pari e Dispari	6
3.2	Segnali Periodici	6
3.3	Segnali Continui Sinusoidali ed Esponenziali	7
3.3.1	Segnali Esponenziali Reali	7
3.3.2	Segnali Sinusoidali ed Esponenziali Periodici Complessi	8
3.3.3	Segnali Esponenziali Complessi Generali	9
3.4	Impulso Unitario, Gradino Unitario e Rampa Unitaria	11
3.5	Box e Impulso Triangolare	13
3.6	Segnali a Tempo Discreto	15
3.6.1	Impulso Unitario Discreto	15
3.6.2	Gradino Unitario Discreto	15
3.6.3	Rampa Unitaria Discreta	15
3.6.4	Successioni Esponenziali	16
3.6.5	Successioni Sinusoidali	16
3.6.6	Successioni Sinusoidali modulate Esponenzialmente	16
4	Sistemi	17
4.1	Proprietà di un Sistema	17
4.2	Sistemi a Tempo Continuo	18
4.2.1	Rappresentazione in termini di Impulsi	18
4.2.2	Risposta Impulsiva e Rappresentazione Sistemi LTI Continui	19
4.3	Sistemi a Tempo Discreto	20
4.3.1	Rappresentazione in termini di Impulsi	20
4.3.2	Risposta Impulsiva e Rappresentazione Sistemi LTI Discreti	24
5	Risposta Libera e Forzata	25
5.1	Sistemi descritti da Equazioni Differenziali	25
5.2	Evoluzione Libera	25
5.3	Evoluzione Forzata	25
6	Sistemi LTI Generali	26
6.1	Stabilità BIBO	26
6.2	Risposta in Frequenza	28
7	Trasformata di Laplace	30
7.1	Trasformata di Laplace Unilatera	30
7.2	Proprietà Trasformata di Laplace	32
7.3	Trasformate di Laplace Notevoli	36
7.4	Sistemi LTI Causali: Analisi nel Dominio Complesso	38

7.5	Rappresentazione della Funzione di Trasferimento	39
7.6	Diagrammi a Blocchi (Metodo di Mason)	40
7.7	Stabilità BIBO nel Dominio delle Trasformate	41
7.8	Antitrasformata Unilatera di Laplace	41
8	Serie di Fourier	43
8.1	Convergenza della Serie di Fourier	43
8.2	Rappresentazione Trigonometrica Serie di Fourier	43
9	Trasformata di Fourier	45
9.1	Trasformata di Fourier Segnali Periodici	45
9.2	Proprietà Trasformata di Fourier	46
9.3	Trasformate di Fourier Notevoli	48
10	Diagrammi di Bode	51
10.1	Termine Guadagno	52
10.2	Termine Monomio	53
10.3	Termine Binomio	55
10.4	Termine Trinomio	57
11	Analisi in \mathcal{Z}	59
11.1	Trasformata Zeta	59
11.2	Proprietà della Trasformata Zeta	60
11.3	Trasformate Zeta Notevoli	63
11.4	Antitrasformata Zeta	64
12	Esercizi	65
12.1	Risposta di un Sistema	65
12.2	Stabilità Asintotica e BIBO Stabilità	67
12.3	Risposta di un Sistema tramite Trasn. di Laplace	68
12.4	Risposta di un Sistema Discreto	70
12.5	Risposta di un Sistema Discreto con Trasn. Zeta	72
12.6	Metodo di Mason Semplificazione Schemi a Blocchi	74

1 Introduzione

La presente è una dispesa \LaTeX contenente gli appunti per il corso di Sistemi. Alla presente potranno essere aggiunte integrazioni prese dal libro **Signals and Systems: Pearson New International Edition** di *Alan V. Oppenheim* con lo scopo di integrare parti meno chiare del corso.

Il codice \LaTeX è disponibile a:

`https://github.com/davbianchi/dispense-info-univr`

2 Definizioni

Sistema - Modello matematico che rappresenta un fenomeno che evolve nel tempo in modo deterministico.

Segnale - Grandezza fisica variabile nel tempo, a cui è assegnata un'informazione.

Lasciando perdere le definizioni, che vogliono dire tutto e niente in questo caso, ci si può ricondurre all'amata matematica per aiutarsi un pochino. Matematicamente i *segnali* sono rappresentati come funzioni di una o più variabili indipendenti. La definizione di segnale usa il tempo come variabile indipendente, anche se se ne potrebbero utilizzare altre in casi diversi.

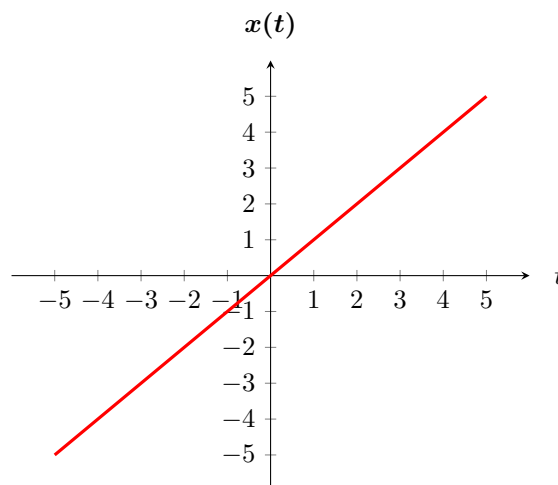
Considereremo due tipi di segnali, *continui* e *discreti*.

I segnali continui sono quelli in cui la variabile indipendente è rappresentata come un valore continuo, e questi sono definiti per un continuum di valori della variabile indipendente.

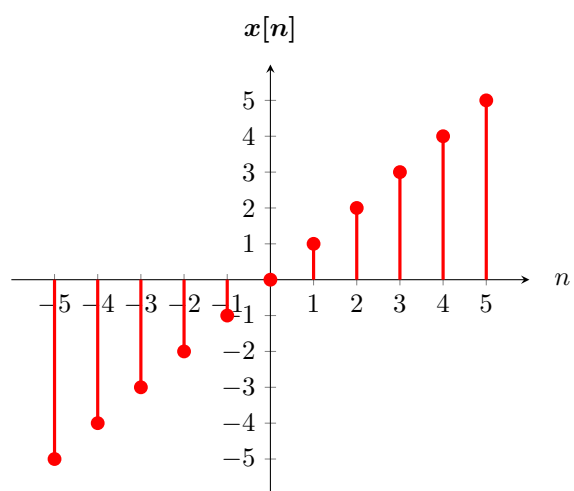
I segnali discreti sono definiti solo a tempo discreto (utilizzando il tempo come variabile indipendente) e di conseguenza sono definiti solo per un insieme discreto di valori della variabile indipendente.

Il passaggio di uno stesso segnale da continuo a discreto avviene tramite un processo detto *campionamento*.

N.B: Si usa la notazione con le parentesi tonde per i segnali continui, quella con le parentesi quadre per i segnali discreti. La variabile indipendente è t per i segnali continui e n per quelli discreti.



Segnale continuo



Segnale discreto

3 Tipi di Segnale

3.1 Segnali Pari e Dispari

Un segnale $x(t)$ o $x[n]$ è *pari* se è uguale alla sua controparte rovesciata, ovvero alla sua controparte ruotata di $^\circ 180$ rispetto all'origine.

Un segnale continuo è *pari* se:

$$x(-t) = x(t)$$

Un segnale discreto è *pari* se:

$$x[-n] = x[n]$$

Un segnale si dice *dispari* se:

$$\begin{aligned} x(-t) &= -x(t) \\ x[-n] &= -x[n] \end{aligned}$$

Un segnale dispari deve necessariamente valere 0 a $t = 0$ o $n = 0$ dato che le condizioni di disparità richiedono che:

$$\begin{aligned} x(0) &= -x(0) \\ x[0] &= -x[0] \end{aligned}$$

Ogni segnale può essere diviso in una somma di due segnali, uno pari ed uno dispari. Consideriamo:

$$Even\{x(t)\} = \frac{1}{2} \cdot [x(t) + x(-t)]$$

ossia la parte intera di $x(t)$.

Analogamente, la sua parte dispari è definita come:

$$Odd\{x(t)\} = \frac{1}{2} \cdot [x(t) - x(-t)]$$

3.2 Segnali Periodici

Un segnale periodico continuo ha la proprietà che esiste un valore T per il quale:

$$x(t) = x(t + T)$$

per ogni t .

In parole povere, un segnale periodico continuo $x(t)$ non cambia anche se *shiftato*, ossia traslato, di T verso sinistra.

In questo caso diciamo che $x(t)$ è *periodico di periodo T* .

Il *periodo fondamentale* T_0 di $x(t)$ è il valore positivo più piccolo per cui vale la condizione di periodicità di un segnale.

Questa definizione funziona solo se $x(t)$ non è costante. In questo caso il periodo non è definito, dato che $x(t)$ è periodico $\forall T$.

Un segnale non periodico viene detto *aperiodico*.

Per i segnali discreti valgono le stesse proprietà, e possono essere definiti in maniera analoga. Un segnale discreto $x[n]$ è *periodico di periodo N* , N intero positivo, se:

$$x[n] = x[n + N]$$

per ogni valore di n .

Il *periodo fondamentale* N_0 è il più piccolo valore positivo di N per cui vale la condizione di periodicità di un segnale.

3.3 Segnali Continui Sinusoidali ed Esponenziali

Il *segnale continuo ad esponenziale complesso* è:

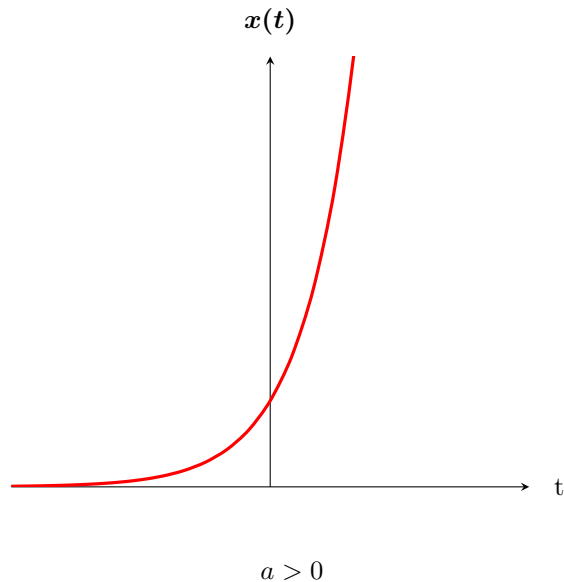
$$x(t) = A \cdot e^{at}$$

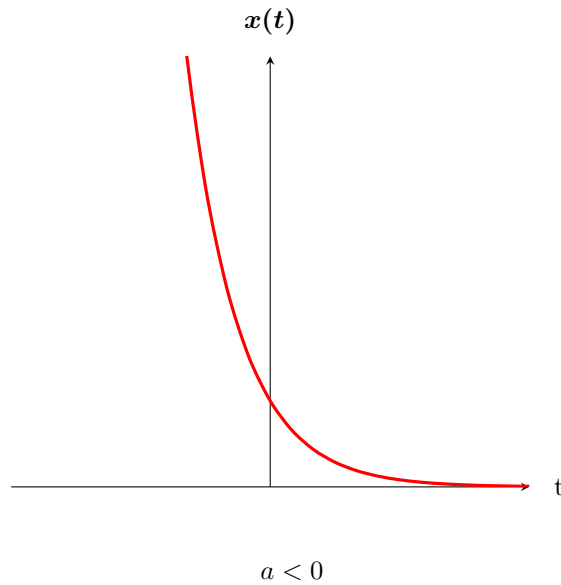
con A ed a numeri complessi.

3.3.1 Segnali Esponenziali Reali

Se A ed a sono reali ho due casi. Se a è positivo, con l'aumento di t , $x(t)$ è un esponenziale crescente.

Se a è negativo allora $x(t)$ è un esponenziale decrescente.





3.3.2 Segnali Sinusoidali ed Esponenziali Periodici Complessi

Un'altra classe di esponenziali complessi si ottiene vincolando a a valore immaginario.

Consideriamo:

$$x(t) = e^{j\omega_0 t}$$

Questo segnale è periodico. Per verificarlo basta verificare che $x(t)$ sia di periodo T :

$$\begin{aligned} e^{j\omega_0 t} &= e^{j\omega_0(t+T)} \\ &= e^{j\omega_0 t} e^{j\omega_0 T} \end{aligned}$$

per periodicità, abbiamo:

$$e^{j\omega_0 T} = 1$$

Se $\omega_0 = 0$, allora $x(t) = 1$, che è periodico $\forall T$.

Se $\omega_0 \neq 0$, allora il *periodo fondamentale* T_0 di $x(t)$ è:

$$T_0 = \frac{2\pi}{|\omega_0|}$$

I segnali $e^{j\omega_0 t}$ e $e^{-j\omega_0 t}$ hanno lo stesso periodo fondamentale.

Un segnale fortemente correlato all'*esponenziale periodico complesso* è il *segnale sinusoidale*:

$$x(t) = A \cdot \cos(\omega_0 t + \phi)$$

Utilizzando i secondi come unità di t , le unità di ω_0 e ϕ sono radianti per secondo e radianti, rispettivamente.

Comunemente si scrive $\omega_0 = 2\pi f_0$, con f_0 sono cicli per secondo, o *Hertz* (Hz). Il segnale sinusoidale è periodico di periodo fondamentale T_0 .

Usando la **Formula di Eulero** posso scrivere l'esponenziale complesso come un segnale sinusoidale dello stesso periodo fondamentale:

$$e^{j\omega_0 t} = \cos(\omega_0 t) + j\sin(\omega_0 t)$$

Allo stesso modo posso scrivere un segnale sinusoidale come un esponenziale complesso, sempre dello stesso periodo:

$$A \cdot \cos(\omega_0 t + \phi) = \frac{A}{2} e^{j\phi} e^{j\omega_0 t} + \frac{A}{2} e^{-j\phi} e^{-j\omega_0 t}$$

Alternativamente, possiamo esprimere un senoide come un esponenziale complesso come:

$$A \cdot \cos(\omega_0 t + \phi) = A \cdot \text{Re}\{e^{j(\omega_0 t + \phi)}\}$$

dove, se $c \in \mathbb{C}$, $\text{Re}\{c\}$ è la sua parte reale. Si usa la notazione $\text{Im}\{c\}$ per indicarne la parte immaginaria. Quindi:

$$A \cdot \sin(\omega_0 t + \phi) = A \cdot \text{Im}\{e^{j(\omega_0 t + \phi)}\}$$

Si può notare che il periodo fondamentale T_0 di un segnale sinusoidale continuo è inversamente proporzionale a $|\omega_0|$, al quale ci riferiamo come *frequenza fondamentale*. Se lo diminuiamo rallentiamo l'oscillazione, o *ampiezza* ed aumentiamo il periodo.

Consideriamo il caso in cui $\omega_0 = 0$, il periodo di un segnale costante è indefinito, ma posso definirne la frequenza fondamentale come 0. Quindi un segnale costante non ha oscillazione.

3.3.3 Segnali Esponenziali Complessi Generali

Consideriamo un esponenziale complesso $A \cdot e^{at}$, con C espresso in forma polare ed a in forma rettangolare. Avendo:

$$A = |A| e^{j\theta}$$

e:

$$a = r + j\omega_0$$

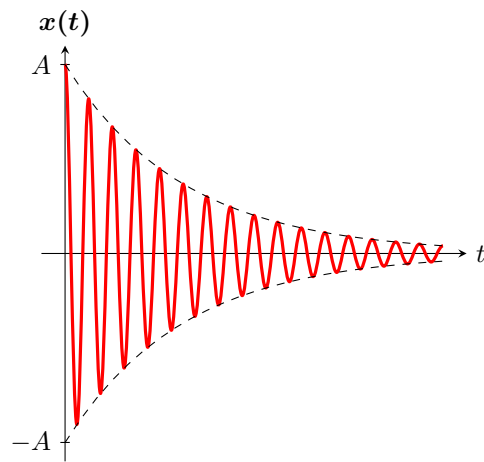
ho:

$$\begin{aligned} Ae^{at} &= |A| e^{j\theta} e^{(r+j\omega_0)t} \\ &= |A| e^{rt} e^{j(\omega_0 t + \theta)} \end{aligned}$$

Usando la Formula di Eulero:

$$Ae^{at} = |C| e^{rt} \cos(\omega_0 t + \theta) + j |A| e^{rt} \sin(\omega_0 t + \theta)$$

Per $r = 0$ la parte *reale* e quella *immaginaria* di un segnale sono sinusoidali, per $r > 0$ corrispondono ad un segnale sinusoidale moltiplicato per un esponenziale



Segnale sinusoidale modulato esponenzialmente ($r < 0$)

crescente e per $r < 0$ ad un segnale sinusoidale moltiplicato per un esponenziale decrescente.

Per $r > 0$ il grafico è lo stesso ma ruotato di 180° rispetto all'asse $x(t)$. L'ampiezza massima di questo segnale è la dimensione dell'intervallo $[A, -A]$.

3.4 Impulso Unitario, Gradino Unitario e Rampa Unitaria

Il gradino unitario $\delta_{-1}(t)$ assume il seguenti valori:

$$\delta_{-1}(t) = \begin{cases} 0, & t < 0 \\ 1, & t \geq 0 \end{cases}$$

L'impulso unitario invece:

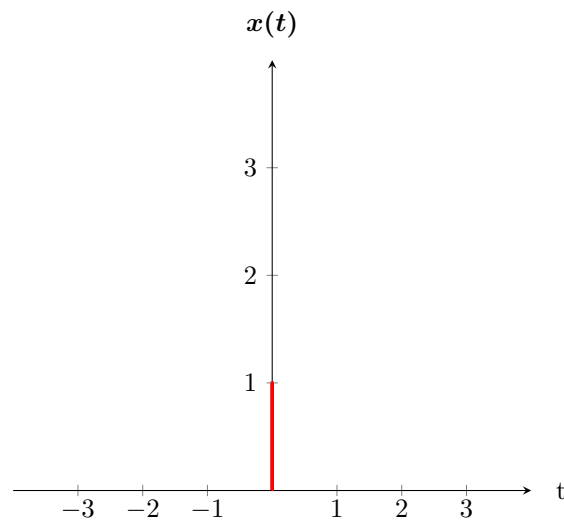
$$\delta(t) = \begin{cases} 1, & t = 0 \\ 0 & \text{altrimenti} \end{cases}$$

Il gradino unitario è legato all'impulso unitario, infatti è il suo integrale:

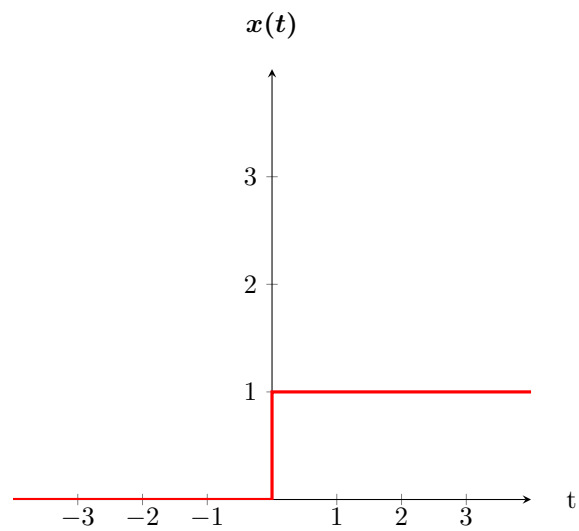
$$\delta_{-1}(t) = \int_{-\infty}^t \delta(\tau) d\tau$$

e, di conseguenza, l'impulso unitario è la derivata del gradino unitario:

$$\delta(t) = \frac{d \delta_{-1}(t)}{dt}$$



Impulso Unitario

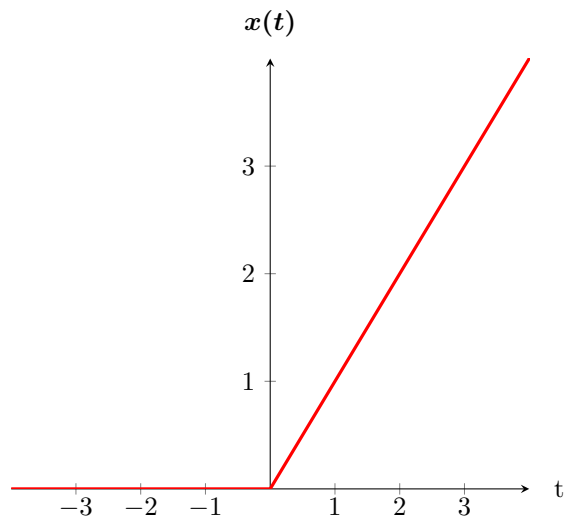


Gradino Unitario

Analogamente all'Impulso Unitario ed al Gradino Unitario possiamo definire la *Rampa Unitaria* come segue:

$$\delta_{-2}(t) = \begin{cases} t, & t \geq 0 \\ 0 & \text{altrimenti} \end{cases}$$

e rappresentare come:



Rampa Unitaria

Così come il Gradino Unitario è l'integrale dell'Impulso Unitario, la Rampa Unitaria è l'integrale del Gradino Unitario:

$$\delta_{-2}(t) = \int_{-\infty}^t \delta_{-1}(\tau) d\tau$$

In generale possiamo dire che:

$$\delta_{-k}(t) = \begin{cases} \frac{t^{k-1}}{(k-1)!}, & t \geq 0 \\ 0 & \text{altrimenti} \end{cases}$$

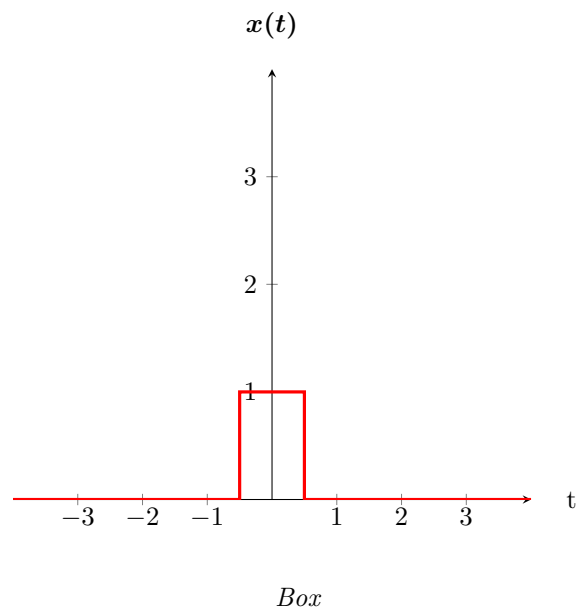
quindi possiamo dire che integrando "*scendo*" di un grado di derivazione, mentre derivando "*salgo*".

3.5 Box e Impulso Triangolare

Posso definire la Box come:

$$\square(t) = \begin{cases} 1, & -\frac{1}{2} \leq t \leq \frac{1}{2} \\ 0 & \text{altrimenti} \end{cases}$$

e rappresentarla:



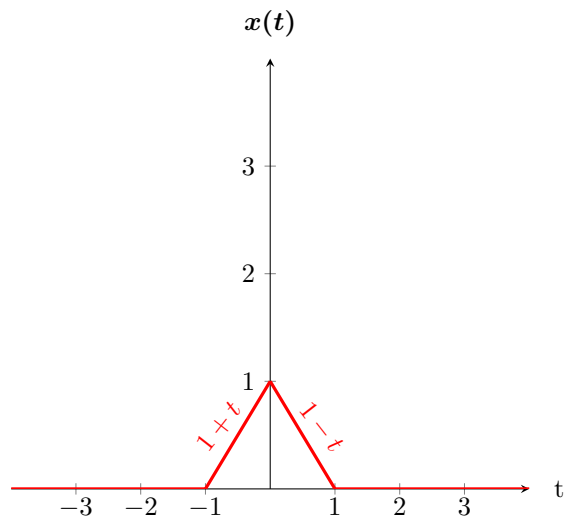
Possiamo anche definire la Box tramite la seguente formula:

$$\square(t) = \delta_{-1}\left(t + \frac{1}{2}\right) - \delta_{-1}\left(t - \frac{1}{2}\right)$$

L'Impulso Triangolare è definito come:

$$\triangle(t) = \begin{cases} 0, & t \leq -1 \\ 1 - |t|, & -1 < t < 1 \\ 0, & t \geq 1 \end{cases}$$

La sua rappresentazione è la seguente:



Impulso Triangolare

3.6 Segnali a Tempo Discreto

3.6.1 Impulso Unitario Discreto

$$\delta[n] = \begin{cases} 1, & n = 0 \\ 0 & \text{altrimenti} \end{cases}$$

3.6.2 Gradino Unitario Discreto

$$\delta_{-1}[n] = \begin{cases} 1, & n \geq 0 \\ 0 & \text{altrimenti} \end{cases}$$

Osservazione:

$$\delta_{-1}[n] = \sum_{i=-\infty}^k \delta(i)$$

3.6.3 Rampa Unitaria Discreta

$$\delta_{-2}[n] = \begin{cases} n, & n \geq 0 \\ 0 & \text{altrimenti} \end{cases}$$

Osservazione:

$$\delta_{-2}[n] = \sum_{i=-\infty}^{k-1} \delta_{-1}[i]$$

Osservazione:

$$\delta_{-2}[n] = \sum_{i=-\infty}^{\infty} \sum_{j=-\infty}^{k-1} \delta[j]$$

3.6.4 Successioni Esponenziali

$$\begin{aligned} v[n] &= Ae^{j\phi} \lambda^n \\ &= Ae^{j\phi} \rho^n e^{j\theta n} \\ &= Ae^{j\phi} e^{ln(\rho) + j\theta} \end{aligned}$$

con $n \in \mathbb{Z}$; $A, \phi \in \mathbb{R}$; $\lambda \in \mathbb{C}$ e $\lambda = \rho(\cos(\theta) + j \sin(\theta)) = e^{j\theta}$

Osservazione:

$v[n]$ può essere visto come la versione campionata ($q = 1$) del segnale esponenziale continuo.

$$v(t) = Ae^{j\theta} e^{\mu t}$$

con

$$\mu = \ln(\rho) + j\theta$$

3.6.5 Successioni Sinusoidali

$$v[n] = A \cos(\theta n + \phi)$$

con $A > 0$, θ pulsazione e ϕ fase.

Periodico sse $\theta = \frac{2\pi n}{N}$, con $N > 0$ (periodo), $n \in \mathbb{N}$.

3.6.6 Successioni Sinusoidali modulate Esponenzialmente

$$v[n] = A\rho^n \cos(\theta n + \phi)$$

con $A > 0$; $\rho > 0$; $\theta, \phi \in \mathbb{R}$.

4 Sistemi

Un *sistema* può essere visto come un processo in cui i *segnali di input* sono trasformati dal sistema o causano una risposta di qualche tipo da parte di questo, risultando in altri segnali detti *segnali di output*.

Anche per questi va fatta la distinzione tra *sistemi a tempo continuo* e *sistemi a tempo discreto*.



4.1 Proprietà di un Sistema

1. Linearità

$$\alpha u_1 + \beta u_2 \mapsto \alpha v_1 + \beta v_2$$

con $u = \text{input}$ e $v = \text{output}$.

2. Tempo Invarianza

Se traslo l'input nel tempo l'output trasla a sua volta

$$u(t - \tau) \rightarrow \boxed{\text{Sistema}} \rightarrow v(t - \tau)$$

3. Causalità

L'effetto non anticipa la causa.

Ci sarà sempre un istante t_0 punto di inizio studio del sistema t.c:

$$\exists t_0 \in \mathbb{R} : u(t_0) = 0$$

4. Stabilità BIBO

$$\forall t \in [t_0, +\infty) \subseteq \mathbb{R}, \exists M_u > 0 : |u(t)| < M_u$$

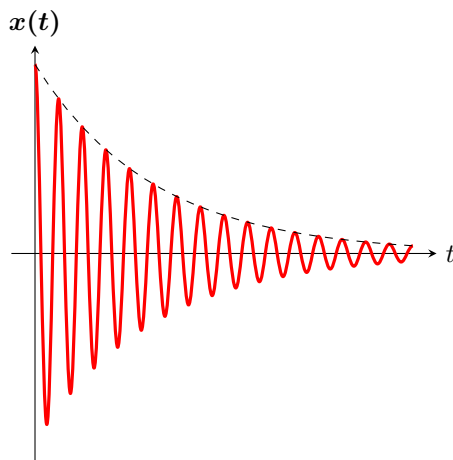
$$\exists M_v > 0 : \forall t \in [t_0, +\infty) : |v(t)| < M_v$$

5. Stabilità Asintotica

Se

$$\exists t_0 : u(t) = 0, \forall t \geq t_0 \rightarrow \lim_{t \rightarrow +\infty} v(t) = 0$$

In assenza di input, l'output converge a 0 asintoticamente.



Perchè:

$$\lim_{x \rightarrow +\infty} e^x = 0$$

Se un sistema soddisfa 1 e 2 allora è *LT* (*Lineare Tempo Invariante*).

4.2 Sistemi a Tempo Continuo

Un *sistema a tempo continuo* è un sistema in cui vengono applicati segnali di input a tempo continuo, risultando in segnali di output a tempo continuo.

I segnali di input vengono rappresentati mediante la notazione $x(t)$, quelli di output con la notazione $y(t)$.

La relazione tra input e output viene rappresentata come segue:

$$x(t) \rightarrow y(t)$$

4.2.1 Rappresentazione in termini di Impulsi

Consideriamo una pulsazione, o "*scala*", $\hat{x}(t)$ ed un segnale continuo $x(t)$. Possiamo esprimere quest'approssimazione come una combinazione lineare di pulsazione ritardate. Definiamo:

$$\delta_{\Delta}(t) = \begin{cases} \frac{1}{\Delta}, & 0 \leq t \leq \Delta \\ 0, & \text{altrimenti} \end{cases}$$

Dato che $\delta_{\Delta}(t)$ ha ampiezza unitaria:

$$\hat{x}(t) = \sum_{k=-\infty}^{+\infty} x(k\Delta) \delta_{\Delta}(t - k\Delta) \Delta$$

Più Δ si avvicina allo 0, più $\hat{x}(t)$ si avvicina ad essere $x(t)$, fino ad esserne uguale

$$x(t) = \lim_{\Delta \rightarrow 0} \sum_{k=-\infty}^{+\infty} x(k\Delta) \delta_{\Delta}(t - k\Delta) \Delta$$

Sappiamo che

$$\lim_{\Delta \rightarrow 0} \delta_{\Delta}(t) = \delta(t)$$

quindi posso passare all'integrale:

$$x(t) = \int_{-\infty}^{+\infty} x(\tau) \delta(t - \tau) d\tau$$

Ci riferiamo a questo come *Proprietà di Settacciamento* dell'impulso a tempo continuo.

Il segnale $\delta(t - \tau)$ è un impulso in $\tau = t$. Quindi il segnale $x(\tau) \delta(t - \tau)$ è uguale a $x(t) \delta(t - \tau)$, di conseguenza l'integrale è uguale a $x(t)$

$$\begin{aligned} \int_{-\infty}^{+\infty} x(\tau) \delta(t - \tau) d\tau &= \int_{-\infty}^{+\infty} x(t) \delta(t - \tau) d\tau \\ &= x(t) \int_{-\infty}^{+\infty} \delta(t - \tau) d\tau \\ &= x(t) \end{aligned}$$

4.2.2 Risposta Impulsiva e Rappresentazione Sistemi LTI Continui

Possiamo vedere un segnale continuo come una somma di impulsi *scalati e shiftati*. La risposta $\hat{y}(t)$ di un sistema lineare ad un segnale $\hat{x}(t)$ (descritto nel paragrafo precedente) come la somma delle risposte alle versioni scalate e shiftate di $\delta_{\Delta}(t)$.

Definiamo $\hat{h}_{k\Delta}(t)$ come risposta di un sistema LTI all'input $\delta_{\Delta}(t - k\Delta)$.

$$\hat{y}(t) = \sum_{k=-\infty}^{+\infty} x(k\Delta) \hat{h}_{k\Delta}(t) \Delta$$

Consideriamo un decremento di Δ fino a diventare considerevolmente piccolo ($\Delta \rightarrow 0$). Come visto precedentemente, $\hat{x}(t)$ diventa considerevolmente simile ad $x(t)$, fino a coincidervi. Conseguentemente la risposta $\hat{y}(t)$ si avvicina sempre più ad essere uguale a $y(t)$ per $\Delta \rightarrow 0$.

Per un Δ "sufficientemente piccolo" la durata della pulsazione $\delta_{\Delta}(t - k\Delta)$ diventa poco significativa in quanto diventa essenzialmente uguale alla risposta del sistema ad un *Impulso Unitario* per lo stesso valore di t .

Se definiamo $h_{\tau}(t)$ come la risposta a tempo t ad un impulso unitario $\delta(t - \tau)$ posizionato in tempo τ , abbiamo:

$$y(t) = \lim_{\Delta \rightarrow 0} \sum_{k=-\infty}^{+\infty} x(k\Delta) \hat{h}_{k\Delta}(t) \Delta$$

Per $\Delta \rightarrow 0$ la sommatoria diventa un integrale, quindi:

$$\begin{aligned} y(t) &= \int_{-\infty}^{+\infty} x(\tau) h_{\tau}(t) d\tau \\ &= \int_{-\infty}^{+\infty} x(\tau) \delta(t - \tau) d\tau \end{aligned}$$

Quest'equazione rappresenta la forma generale della *risposta di un sistema lineare a tempo continuo*.

Se il sistema è anche tempo invariante, $h_{\tau}(t) = h_0(t - \tau)$. Per convenienza useremo la seguente notazione:

$$h(t) = h_0(t - \tau)$$

dove $h(t)$ è la risposta a $\delta(t)$. Per la proprietà di tempo invarianza la risposta a $\delta(t)$ non è diversa dalla risposta a $\delta(t - \tau)$, quindi l'equazione diventa:

$$y(t) = \int_{-\infty}^{+\infty} x(\tau) h(t - \tau) d\tau$$

4.3 Sistemi a Tempo Discreto

Analogamente, i *sistemi a tempo discreto* prendono in input seganli a tempo discreto ne generano altri in output.

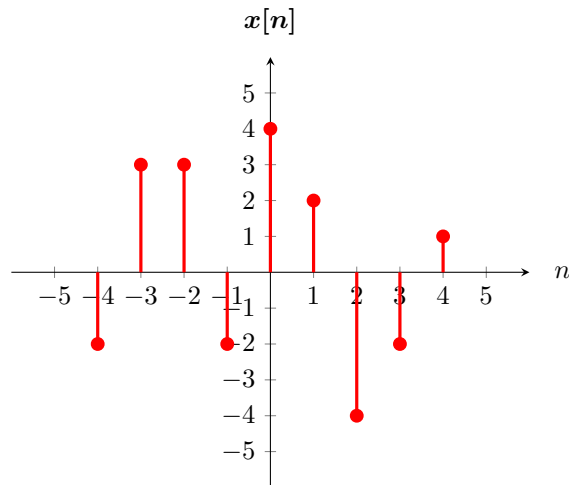
La relazione tra input e output viene rappresentata come segue:

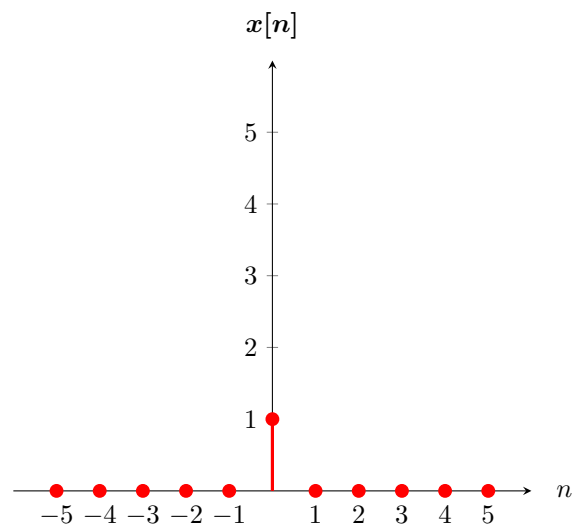
$$x[n] \rightarrow y[n]$$

4.3.1 Rappresentazione in termini di Impulsi

Posso costruire qualsiasi segnale a tempo discreto partendo da un impulso a tempo discreto $\delta[n]$.

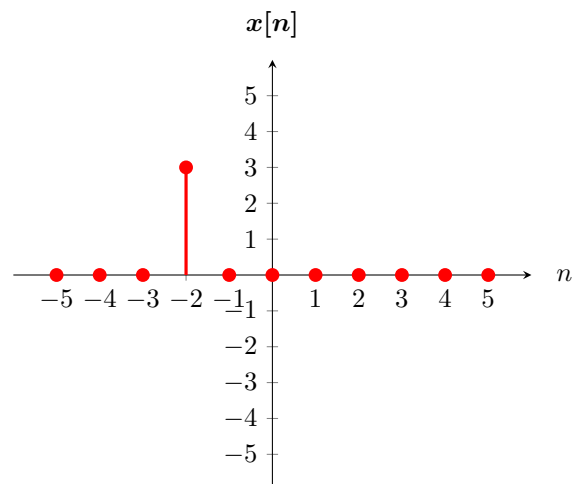
Poniamo $x[n]$ rappresentato come segue:

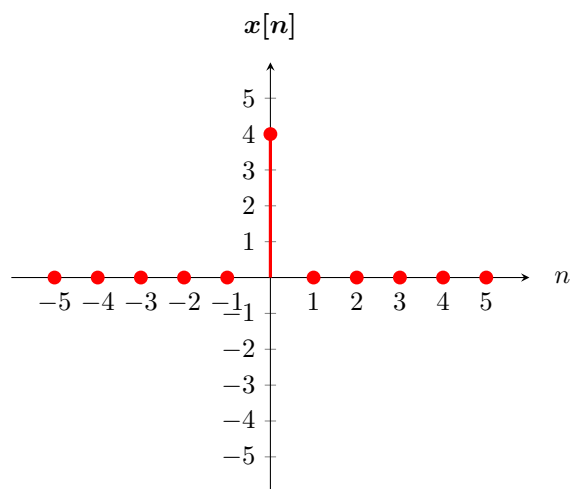
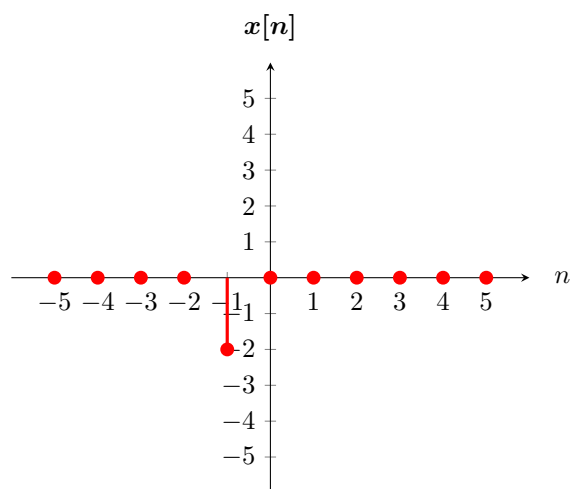


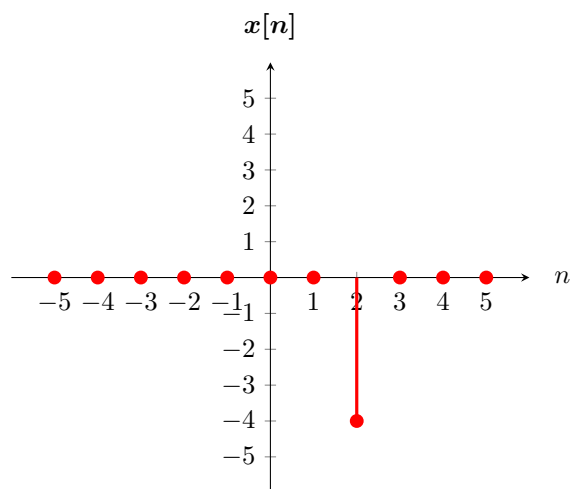
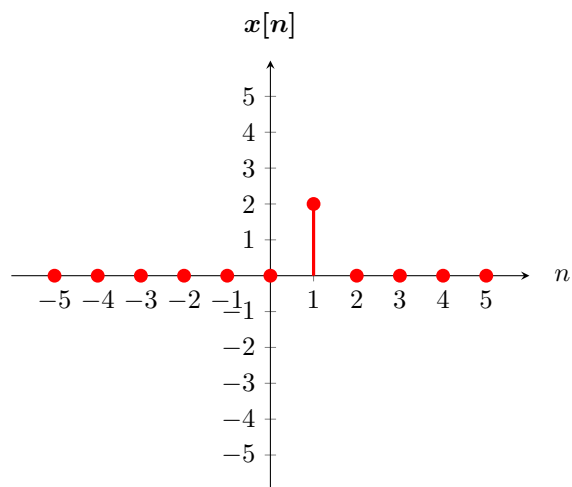


Impulso a tempo discreto

Posso vedere la sua rappresentazione da $n = -2$ a $n = 2$ come la somma dei 5 impulsi a tempo discreto che seguono:







Ossia ogniuno di questi assume il valore di $x[n]$ al momento del campionamento.
 Matematicamente:

$$\begin{aligned} & \dots \\ x[-1]\delta[n+1] &= \begin{cases} x[-1], & n = -1 \\ 0, & n \neq -1 \end{cases} \\ x[0]\delta[n] &= \begin{cases} x[0], & n = 0 \\ 0, & n \neq 0 \end{cases} \\ x[1]\delta[n-1] &= \begin{cases} x[1], & n = 1 \\ 0, & n \neq 1 \end{cases} \\ & \dots \end{aligned}$$

Più in generale, scritto come una sommatoria, risulta:

$$x[n] = \sum_{k=-\infty}^{+\infty} x[k]\delta[n-k]$$

Quest'equazione viene detta *Proprietà di Setacciamento* per i sistemi a tempo discreto.

Visto che la sequenza $\delta[k-n] \neq 0$ solo se $k = n$, possiamo dire che la sommatoria "setaccia" la sequenza di valori $x[k]$ e mantiene solo i valori per cui $k = n$.

4.3.2 Risposta Impulsiva e Rappresentazione Sistemi LTI Discreti

Consideriamo la risposta di un sistema lineare ad un input arbitrario $x[n]$. Possiamo rappresentare questo input come una combinazione lineare di impulsi shiftati.

$h_k[n]$ sarà la risposta del nostro sistema all'impulso shiftato $\delta[n-k]$. L'output $y[n]$ sarà espresso come:

$$y[n] = \sum_{k=-\infty}^{+\infty} x[k]h_k[n]$$

Quindi, conoscendo la formula della risposta ad una serie di impulsi shiftati, possiamo costruire la risposta ad un input arbitrario.

Dato che $x[n]$ può essere scritto come una combinazione lineare di $\delta[n+1]$, $\delta[n]$ e $\delta[n-1]$, possiamo scrivere la relativa risposta come una combinazione lineare delle risposte ai singoli impulsi.

In generale, le risposte $h_k[n]$ non devono essere legate tra loro per valori diversi di k . Se il sistema è *LTI* le risposte agli impulsi shiftati sono tutte verioni shifate di loro stesse.

Dato che $\delta[n-k]$ è una versione shiftata di $\delta[n]$, $h_k[n]$ è la versione shiftata di $h_0[n]$.

Per motivi notazionali, definiamo la *risposta impulsiva* come:

$$h[n] = h_0[n]$$

ossia la risposta del sistema LTI quando l'input è $\delta[n]$.

L'equazione precedente diventa:

$$y[n] = \sum_{k=-\infty}^{+\infty} x[k]h[n-k]$$

Ci riferiremo a questa formula come *Sommatoria della Convoluzione*, la sommatoria nella prte destra dell'uguale è la *convoluzione* delle sequenze $x[n]$ e $h[n]$.

La convoluzione è reppresentata simbolicamente come:

$$y[n] = x[k] \circledast h[n]$$

L'operazione di convoluzione può essere vista come uno "slide" di $h[n-k]$ attarverso $x[n]$.

5 Risposta Libera e Forzata

Grazie al principio di sovrapposizione è possibile scomporre la risposta di un sistema come:

$$v(t) = v_l(t) + v_f(t)$$

dove $v_l(t)$ è la risposta libera, ossia la risposta del sistema imponendo solo le sue condizioni iniziali, e $v_f(t)$, ossia la sua risposta facendo agire solo l'ingresso e trascurandone quindi lo stato.

5.1 Sistemi descritti da Equazioni Differenziali

Un sistema è descritto attraverso un'EDO (*Equazione Differenziale Ordinaria*)

$$\sum_{i=0}^N a_i \frac{d^i v(t)}{dt^i} = \sum_{j=0}^M b_j \frac{d^j u(t)}{dt^j}$$

5.2 Evoluzione Libera

Dal punto di vista pratico cerco la soluzione dell'EDO:

$$\sum_{i=0}^N a_i \frac{d^i v(t)}{dt^i} = 0$$

Data λ come soluzione distinta e μ come molteplicità:

$$v_l(t) = \sum_{i=1}^r \sum_{\rho=0}^{\mu_i-1} C_{i,\rho} e^{\lambda_i t} \frac{t^\rho}{\rho!}$$

dove $C_{i,\rho}$ sono i coefficienti complessi da calcolare tramite condizione iniziale

5.3 Evoluzione Forzata

A differenza dell'evoluzione libera, tengo conto degli input di sistema.

Proprietà:

Se uno degli ingressi è $\delta(t)$ calcolo solo risposta impulsiva.

Se $t < 0$ è sistema causale, quindi risposta impulsiva = 0

$$h(t) = d_0 \delta_0(t) + \sum_{i=1}^r \sum_{\rho=0}^{\mu_i-1} d_{i,\rho} e^{\lambda_i t} \frac{t^\rho}{\rho!}$$

6 Sistemi LTI Generali

Per sistemi causali $h(t) = 0, t < 0$.

Possiamo descrivere un sistema SISO associando ad un ingresso $u(t), t \in \mathbb{R}$ e ad una funzione $h(t), t \in \mathbb{R}$, l'uscita:

$$v(t) = (h(t) \circledast u(t))(t)$$

Per i sistemi LTI causali:

$$\begin{aligned} (h(t) \circledast u(t))(t) &= \int_{-\infty}^{t^+} h(t - \tau) u(\tau) d\tau \\ &= \int_{0^-}^{+\infty} h(\tau) u(t - \tau) d\tau \end{aligned}$$

6.1 Stabilità BIBO

BIBO Stabilità:

$$|u(t)| < M_u, \forall t \in \mathbb{R} \rightarrow \exists M_v : |v(t)| < M_v, \forall t \in \mathbb{R}$$

Un sistema LTI è BIBO stabile sse:

$$\int_{-\infty}^{+\infty} |h(t)| dt < +\infty$$

Ossia se la sua risposta impulsiva è sommabile oppure assolutamente integrabile.

Dimostrazione:

$$\int_{-\infty}^{+\infty} |h(t)| dt < +\infty$$

Dato $u(t)$ t.c. $|u(t)| < M_u, \forall t \in \mathbb{R}$

$$\begin{aligned} v(t) &= (h(t) \circledast u(t))(t) \\ &= \int_{-\infty}^{+\infty} h(\tau) u(t - \tau) d\tau \end{aligned}$$

$$\begin{aligned} |v(t)| &= \left| \int_{-\infty}^{+\infty} h(\tau) u(t - \tau) d\tau \right| \leq \int_{-\infty}^{+\infty} |h(\tau) u(t - \tau)| d\tau \\ &= \int_{-\infty}^{+\infty} |h(\tau)| |u(t - \tau)| d\tau \\ &= M_u \int_{-\infty}^{+\infty} |h(\tau)| d\tau < +\infty \end{aligned}$$

Scegliamo

$$M_v = M_u \int_{-\infty}^{+\infty} |h(\tau)| d\tau \in \mathbb{R}$$

Quindi

$$|v(t)| < M_v, \forall t \in \mathbb{R}$$

Dimostriamo ora l'implicazione in senso contrario, ossia che la *BIBO-Stabilità* di un sistema implica la sommabilità oppure l'assoluta integrabilità della sua risposta impulsiva.

Supponiamo, per assurdo

$$\int_{-\infty}^{+\infty} |h(t)| dt = +\infty$$

$\forall u(t)$ con $|u(t)| < M_u$ ho:

$$\begin{aligned} \exists M_v \text{ t.c. } v(t) &= (h(t) \otimes u(t))(t) \\ |v(t)| &< M_v, \forall t \in \mathbb{R} \end{aligned}$$

Scelgo

$$u(t) = \text{sgn}(h(-t)) = \begin{cases} 1, & h(-t) > 0 \\ 0, & h(-t) = 0 \\ -1, & h(-t) < 0 \end{cases}$$

Per $t \in \mathbb{R}$

$$v(t) = \int_{-\infty}^{+\infty} h(\tau) u(t - \tau) d\tau$$

Per $t = 0$

$$\begin{aligned} v(0) &= \int_{-\infty}^{+\infty} h(\tau) u(-\tau) d\tau \\ &= \int_{-\infty}^{+\infty} h(\tau) \text{sgn}(\tau) d\tau \\ &= \int_{-\infty}^{+\infty} |h(\tau)| d\tau = +\infty \quad \perp \end{aligned}$$

1. Per i *Sistemi Causali LTI*:

$$\text{BIBO-Stabilità} = \int_{0^-}^{+\infty} |h(t)| dt < +\infty$$

2.

$$h(t) = d_0 \delta(t) + \sum_{i=1}^r \sum_{\rho=0}^{\mu-1} d_{i,\rho} e^{\lambda_{i,\rho}} \frac{t^\rho}{\rho!}$$

$h(t)$ sommabile sse tutti i modi sono convergenti, quindi $d_{i,\rho}$ converge

$$\text{Re}(\lambda_i) < 0$$

3. I modi di $h(t) \subseteq \{\text{modi di } v_\rho(t)\}$

4. Stabilità Asintotica \rightarrow BIBO-Stabilità

6.2 Risposta in Frequenza

Dato un sistema LTI BIBO-Stabile di risposta impulsiva $h(t)$, $t \in \mathbb{R}$ reale a valori reali.

Rappresenta la risposta in presenza di ingressi esponenziali con esponente immaginario puro, ossia in presenza di *fasori* in input.

$$\xrightarrow{u_1(t)=Ae^{j(\omega_0 t + \phi)}} \boxed{\text{Sistema}} \xrightarrow{v_1(t)}$$

$A \in \mathbb{R}_+$; $\phi, \omega_0 \in \mathbb{R}$.

$$\begin{aligned} v_1(t) &= \int_{-\infty}^{+\infty} h(\tau) u_1(t - \tau) d\tau \\ &= \int_{-\infty}^{+\infty} h(\tau) A e^{j(\omega_0(t - \tau) + \phi)} d\tau \\ &= A e^{j(\omega_0 t + \phi)} \int_{-\infty}^{+\infty} h(\tau) e^{-j\omega_0 \tau} d\tau \end{aligned}$$

BIBO Stabile

$$\begin{aligned} \left| \int_{-\infty}^{+\infty} h(\tau) e^{-j\omega_0 \tau} d\tau \right| &\leq \int_{-\infty}^{+\infty} |h(\tau)| \underbrace{|e^{-j\omega_0 \tau}|}_{=1} d\tau \\ &= \int_{-\infty}^{+\infty} |h(\tau)| d\tau < +\infty \end{aligned}$$

Possiamo scrivere

$$H(j\omega_0) = \int_{-\infty}^{+\infty} h(\tau) e^{-j\omega_0 \tau} d\tau$$

$$v_1(t) = H(j\omega_0) A e^{j(\omega_0 t + \phi)}, \quad t \in \mathbb{R}$$

Per $\omega \in \mathbb{R}$, definiamo

$$H(j\omega) = \int_{-\infty}^{+\infty} h(\tau) e^{-j\omega \tau} d\tau$$

e la chiamiamo *Risposta in Frequenza* del sistema LTI generale BIBO stabile.

$\forall \omega \in \mathbb{R} \rightarrow H(j\omega) \in \mathbb{C}$, esistono due funzioni:

$$\begin{array}{ll} A(\omega) & \underline{\text{modulo}} \\ \Phi(\omega) & \underline{\text{fase}} \end{array}$$

tali che

$$\begin{aligned} A(\omega) &= |H(j\omega)| = \left| \int_{-\infty}^{+\infty} h(\tau) e^{-j\omega \tau} d\tau \right| \\ \Phi(\omega) &= \arg(H(j\omega)) = \arg\left(\int_{-\infty}^{+\infty} h(\tau) e^{-j\omega \tau} d\tau \right) \end{aligned}$$

Quindi

$$v_1(t) = (A(\omega_0)A) e^{j(\omega_0 t + \phi + \Phi(\omega_0))}, \quad t \in \mathbb{R}$$

Poniamo

$$\begin{aligned} u_2(t) &= A e^{-j(\omega_0 t + \phi)} \\ v_2(t) &= H(-j\omega_0) A e^{-j(\omega_0 t + \phi)} = A(-\omega_0) A e^{-j(\omega_0 t + \phi + \Phi(-\omega_0))} \end{aligned}$$

con

$$\begin{aligned} H(-j\omega_0) &= \int_{-\infty}^{+\infty} h(\tau) e^{j\omega_0 \tau} d\tau = \overline{\int_{-\infty}^{+\infty} h(\tau) e^{-j\omega_0 \tau} d\tau} \\ &= \overline{H(j\omega_0)} \end{aligned}$$

Possiamo quindi dedurre che

$$\begin{aligned} A(j\omega_0) &= A(-j\omega_0) \rightarrow \text{Funzione Pari} \\ \Phi(j\omega_0) &\neq \Phi(-j\omega_0) \rightarrow \text{Funzione Dispari} \end{aligned}$$

Supponiamo in ingresso

$$u(t) = A \cos(\omega_0 t + \phi), \quad t \in \mathbb{R}$$

Per la *formula di Eulero*

$$\begin{aligned} u(t) &= \frac{A}{2} e^{j(\omega_0 t + \phi)} + \frac{A}{2} e^{-j(\omega_0 t + \phi)} \\ &= \frac{u_1(t) + u_2(t)}{2} \\ v(t) &= \frac{v_1(t) + v_2(t)}{2} \\ &= \frac{A e^{j(\omega_0 t + \phi)} A(\omega_0) e^{j\Phi(\omega_0)} + A e^{-j(\omega_0 t + \phi)} A(\omega_0) e^{-j\Phi(\omega_0)}}{2} \\ &= A A(\omega_0) \cos(\omega_0 t + \phi + \Phi(\omega_0)) \end{aligned}$$

La risposta di un sistema LTI reale ($h(t)$ reale) BIBO Stabile a un segnale sinusoidale di ω_0 è un altro segnale sinusoidale della stessa frequenza e:

- Ampiezza data dal prodotto di ampiezza dell'ingresso ed il modulo della risposta in frequenza

$$A \cdot |H(j\omega_0)|$$

- Fase data dalla somma della fase in ingresso e la fase della risposta in frequenza

$$\phi + \arg(H(j\omega_0))$$

$$\sum_{i=0}^N a_i \frac{d^i v(t)}{dt^i} = \sum_{i=0}^M b_i \frac{d^i u(t)}{dt^i}$$

$$u(t) = e^{j\omega t} \rightarrow v(t) = e^{j\omega t} H(j\omega)$$

dove $H(j\omega)$ è la risposta in frequenza.

Abbiamo

$$\frac{d^i(e^{j\omega t})}{dt^i} = (j\omega)^i e^{j\omega t}$$

Sostituendo

$$\sum_{i=0}^N a_i H(j\omega) (j\omega)^i e^{j\omega t} = \sum_{i=0}^M b_i (j\omega)^i e^{j\omega t}$$

$$\Rightarrow H(j\omega) = \frac{\sum_{i=0}^M b_i (j\omega)^i e^{j\omega t}}{\sum_{i=0}^N a_i (j\omega)^i e^{j\omega t}}$$

7 Trasformata di Laplace

Trasforma il problema da un problema nel *dominio del tempo* ad un problema nel *dominio complesso*.

Torno nel dominio del tempo con **Antitrasformata di Laplace**.

Nel dominio complesso ho una soluzione algebrica e calcolo la stabilità più facilmente.

7.1 Trasformata di Laplace Unilatera

Se $v : \mathbb{R} \rightarrow \mathbb{C}$ è localmente sommabile in $[0, +\infty)$

$$\int_a^b v(t) dt < +\infty, \forall a, b \in [0, +\infty)$$

si definisce la *Trasformata di Laplace unilatera di $v(t)$* :

$$\mathcal{L}[v(t)](s) = V(s) = \int_{0^-}^{+\infty} v(t) e^{-st} dt$$

dove $s = \sigma + j\omega$ è una variabile complessa, di cui σ e ω somi rispettivamente la parte reale e complessa

$$Re(s) = \sigma$$

$$Im(s) = \omega$$

V è definita per s t.c. l'integrale sia ben definito

$$\left| \int_{0^-}^{+\infty} v(t) e^{-st} dt \right| < +\infty$$

Tale refione del piano complesso è detta *Regione di Convergenza*, da ora *RdC*. Possiamo definire la RdC della Trasformata di Laplace l'intervallo di valori

assunti da s per cui l'integrale converge.

Si può dimostrare che la RdC è un semipiano aperto del tipo

$$RdC = \{s \in \mathbb{C} : \text{Re}(s) > \alpha\}$$

dove $\alpha \in \mathbb{R}$, chiamato *Ascissa di convergenza della Trasformata di Laplace*.

Dimostrazione:

Per combinazioni lineari di equazioni esponenziali

$$v(t) = \sum_{i=1}^N C_i e^{\lambda_i t}, \quad \lambda_i = \sigma_i + j\omega_i \in \mathbb{C}$$

$$V(s) = \int_{0^-}^{+\infty} \sum_{i=1}^N C_i e^{\lambda_i t} e^{-st} dt = \sum_{i=1}^N C_i \int_{0^-}^{+\infty} e^{\lambda_i t} e^{-st} dt$$

Dimostriamo che

$$\left| \int_{0^-}^{+\infty} e^{\lambda_i t} e^{-st} dt \right| < +\infty \quad \forall i$$

$$\Rightarrow \left| \int_{0^-}^{+\infty} e^{\sigma_i t} \underbrace{e^{j\omega_i t}}_{=1} e^{-\sigma t} \underbrace{e^{-j\omega_i t}}_{=1} dt \right|$$

$$= \int_{0^-}^{+\infty} \left| e^{(\sigma_i - \sigma)t} \right| dt = \frac{e^{(\sigma_i - \sigma)t}}{\sigma_i - \sigma} \Big|_{0^-}^{+\infty}$$

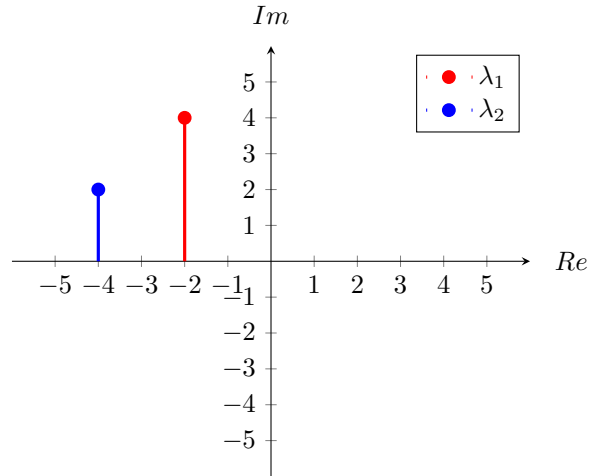
ossia

$$\lim_{t \rightarrow \infty} \frac{e^{(\sigma_i - \sigma)t}}{\sigma_i - \sigma} - \frac{1}{\sigma_i - \sigma}$$

che converge per

$$(\sigma_i - \sigma) < 0 \rightarrow \sigma > \sigma_i$$

Scegliendo $\alpha = \sup\{\text{Re}(\lambda_i)\}$ la Trasformata di Laplace converge $\forall v(t)$



Quindi $\sup\{Re(\lambda_i)\}$ ascissa di convergenza.

Nel caso del nostro grafico l'ascissa di convergenza è λ_1 , la regione alla sua destra è la RdC . Alcune cose da tenere a mente:

- I sistemi stabili hanno $\alpha < 0$ ($Re(\lambda_i) < \alpha < 0 \quad \forall i$)

$$j\omega \in RdC, \forall \omega \in \mathbb{R}$$

- $v(t)$ (Dominio del Tempo) $\rightarrow V(s)$ (Dominio Complesso)

7.2 Proprietà Trasformata di Laplace

1. Linearità

$$\mathcal{L}[a_1 v_1(t) + a_2 v_2(t)] = a_1 \mathcal{L}[v_1(t)] + a_2 \mathcal{L}[v_2(t)]$$

$$RdC = \{s \in \mathbb{C} : Re(s) > \alpha\} \text{ dove } \alpha \geq \{\alpha_1, \alpha_2\}$$

2. Time-shifting

Se $v(t)$ ammette Trasformata di Laplace $V(s)$, allora $v(t - \tau)$ l'ammette a sua volta

$$\mathcal{L}[v(t - \tau)] = e^{-s\tau} \mathcal{L}[v(t)] \quad \alpha_1 = \alpha_2$$

3. Moltiplicazione per una Funzione Esponenziale

$$\mathcal{L}[e^{\lambda t} v(t)] = V(s - \lambda) \quad \alpha_2 = Re(\lambda) + \alpha$$

Dimostrazione:

$$\int_{0-}^{+\infty} e^{\lambda t} v(t) dt = \int_{0-}^{+\infty} v(t) e^{-s(\lambda-1)t} dt$$

4. Cambio di Scala

$$\mathcal{L}[v(rt)] = \frac{1}{r} V\left(\frac{s}{r}\right) \quad \alpha_2 = r\alpha$$

Dimostrazione:

$$\int_{0-}^{+\infty} v(rt) e^{-st} dt$$

Per sostituzione $rt = x$, $dt = \frac{1}{r} dx$

$$\int_{0-}^{+\infty} \frac{1}{r} v(x) e^{\frac{s}{r}x} dx$$

5. Proprietà della Derivata

Se $v(t)$ ammette Trasformata di Laplace $V(s)$ ed esiste ed è finito

$$v(0^-) = \lim_{t \rightarrow 0} v(t)$$

allora anche $v'(t)$ ammette Trasformata di Laplace.

Data la Trasformata di Laplace della derivata prima

$$\begin{aligned} \mathcal{L}[v'(t)] &= \int_{0^-}^{+\infty} v'(t) e^{-st} dt = v(t) e^{-st} \Big|_{0^-}^{+\infty} - (-s) \int_{0^-}^{+\infty} v(t) e^{-st} dt \\ &= \lim_{t \rightarrow \infty} [v(t) e^{-st} \Big|_{0^-}^t] + sV(s) \\ &= \lim_{t \rightarrow \infty} [e^{-st} \underbrace{v(t)}_0 - v(0^-)] + sV(s) \\ &= -v(0^-) + sV(s) \end{aligned}$$

E quella della derivata seconda

$$\begin{aligned} \mathcal{L}[v''(t)] &= s \mathcal{L}[v'(t)] - v'(0^-) \\ &= s(s \mathcal{L}[v(t)] - v(0^-) - v'(0^-)) \\ &= s^2 \mathcal{L}[v(t)] - sv(0^-) - v'(0^-) \end{aligned}$$

Possiamo definire la *Trasformata di Laplace della Derivata i-esima*

$$\mathcal{L}[v^i(t)] = s^i \mathcal{L}[v(t)] - \sum_{k=0}^{i-1} v^k(t) \Big|_{t=0^-} \cdot s^{i-1-k} \quad \alpha_2 \leq \alpha$$

6. Moltiplicazione per una Funzione Polinomiale

$$\mathcal{L}[tv(t)] = -V'(s) \quad R d C_1 = R d C_2$$

Dimostrazione:

$$\begin{aligned} V'(s) &= \frac{d}{ds} \int_{0^-}^{+\infty} v(t) e^{-st} dt \\ &= \int_{0^-}^{+\infty} \frac{d}{ds} e^{-st} v(t) dt \\ &= \int_{0^-}^{+\infty} -t e^{-st} v(t) dt \\ &= \int_{0^-}^{+\infty} -tv(t) e^{-st} dt = -\mathcal{L}[tv(t)] \end{aligned}$$

In generale

$$\mathcal{L}[t^i v(t)] = (-1)^i V^i(s)$$

7. Integrazione nel Dominio del Tempo

Se $v(t)$ ammette Trasformata di Laplace $V(s)$ per $Re(s) > \alpha$, allora anche

$$\int_{0^-}^t v(\tau) d\tau$$

ha Trasformata di Laplace

$$\mathcal{L} \left[\int_{0^-}^t v(\tau) d\tau \right] = \frac{V(s)}{s} \quad \alpha_2 = \max(0, \alpha_1)$$

Dimostrazione:

Dato

$$v_1(t) = \int_{0^-}^t v(\tau) d\tau \Rightarrow v_1'(t) = v_1(t)$$

$$v_1(0^-) = 0$$

$$\begin{aligned} \mathcal{L}[v(t)] &= \mathcal{L}[v_1(t)] \\ &= s \mathcal{L}[v_1(t)] - \underbrace{v_1(0^-)}_0 \\ &= s \mathcal{L} \left[\int_{0^-}^t v(\tau) d\tau \right] \\ &= \mathcal{L} \left[\int_{0^-}^t v(\tau) d\tau \right] = \frac{V(s)}{s} \end{aligned}$$

8. Integrazione nel Dominio del Tempo

Se esiste

$$\lim_{t \rightarrow 0^-} \frac{v(t)}{t}$$

allora

$$\mathcal{L} \left[\frac{v(t)}{t} \right] = \int_s^{+\infty} V(s) ds$$

Dimostrazione:

Dato

$$\begin{aligned} V(s) &= \int_{0^-}^{+\infty} v(t) e^{-st} dt \Big|_{\int_s^{+\infty}} \\ \int_s^{+\infty} V(s) ds &= \int_s^{+\infty} \left[\int_{0^-}^{+\infty} v(t) e^{-st} dt \right] ds \\ &= \int_{0^-}^{+\infty} \left[\int_s^{+\infty} e^{-st} ds \right] v(t) dt \\ &= \int_{0^-}^{+\infty} \left[-\frac{1}{t} e^{-st} \Big|_s^{+\infty} \right] v(t) dt \\ &= \int_{0^-}^{+\infty} v(t) \frac{e^{-st}}{t} dt = \mathcal{L} \left[\frac{v(t)}{t} \right] \end{aligned}$$

9. Teorema del Valore Iniziale

Ammetta $v(t)$ Trasformata di Laplace, se esiste $\lim_{t \rightarrow 0^-} v(t)$ finito

$$\lim_{t \rightarrow 0^-} v(t) = \lim_{s \rightarrow +\infty} sV(s)$$

Dimostrazione:

$$\mathcal{L}[v'(t)] = sV(s) - v(0^-)$$

Quindi

$$\begin{aligned} \lim_{s \rightarrow +\infty} sV(s) - v(0^-) &= \lim_{s \rightarrow +\infty} \int_{0^-}^{+\infty} v(t) e^{-st} dt \\ &= \lim_{s \rightarrow +\infty} \left(\lim_{T \rightarrow +\infty, \epsilon \rightarrow 0^-} \int_{\epsilon}^T v'(t) e^{-st} dt \right) \\ &= \lim_{T \rightarrow +\infty, \epsilon \rightarrow 0^-} \left(\int_{\epsilon}^T v'(t) \underbrace{\lim_{s \rightarrow +\infty} e^{-st} dt}_0 \right) \\ &= 0 \Rightarrow \lim_{s \rightarrow +\infty} sV(s) - v(0^-) = 0 \\ &\Rightarrow \lim_{s \rightarrow +\infty} sV(s) = v(0^-) \end{aligned}$$

10. Teorema del Valore Finale

Se $v(t)$ ammette Trasformata di Laplace e $\lim_{t \rightarrow +\infty} v(t)$ esiste ed è finito, allora

$$\lim_{t \rightarrow +\infty} v(t) = \lim_{s \rightarrow 0^+} sV(s)$$

Dimostrazione:

$$\mathcal{L}[v'(t)] = sV(s) - v(0^-) = \int_{0^-}^{+\infty} v'(t) e^{-st} dt$$

Allora

$$\begin{aligned} \lim_{s \rightarrow 0^+} sV(s) - v(0^-) &= \lim_{s \rightarrow 0^+} \left(\lim_{T \rightarrow +\infty, \epsilon \rightarrow 0^-} \int_{\epsilon}^T v'(t) e^{-st} dt \right) \\ &= \lim_{T \rightarrow +\infty, \epsilon \rightarrow 0^-} \left(\int_{\epsilon}^T v'(t) \underbrace{\lim_{s \rightarrow 0^+} e^{-st} dt}_1 \right) \\ &= \lim_{T \rightarrow +\infty, \epsilon \rightarrow 0^-} v(t)|_{\epsilon}^T \\ &= \lim_{T \rightarrow +\infty, \epsilon \rightarrow 0^-} v(T) - v(\epsilon) \\ &= \lim_{T \rightarrow +\infty, \epsilon \rightarrow 0^-} v(T) - v(0^-) \end{aligned}$$

Quindi

$$= \lim_{s \rightarrow 0^+} sV(s) - \cancel{v(0^-)} = \lim_{T \rightarrow +\infty} v(T) - \cancel{v(0^-)}$$

11. Convoluzione

Se $v_1(t)$, $v_2(t)$ nulle per $t < 0$ ammettono Trasformata di Laplace $V_1(s)$, $V_2(s)$

$$\mathcal{L}[v_1(t) \otimes v_2(t)] = V_1(s)V_2(s)$$

Dimostrazione:

$$\begin{aligned} \mathcal{L}[v_1(t) \otimes v_2(t)] &= \mathcal{L} \left[\int_{-\infty}^{+\infty} v_1(\tau) v_2(t - \tau) d\tau \right] \\ &= \int_{0^-}^{+\infty} \left(\int_{0^-}^{+\infty} v_1(\tau) v_2(t - \tau) d\tau \right) e^{-st} dt \\ &= \int_{0^-}^{+\infty} v_1(\tau) \left(\int_{0^-}^{+\infty} v_2(t - \tau) e^{-st} dt \right) d\tau \end{aligned}$$

Per sostituzione $t - \tau = \lambda$, $dt = d\lambda$

$$\begin{aligned} &\Rightarrow \int_{0^-}^{+\infty} v_1(\tau) \left(\int_{0^-}^{+\infty} v_2(\lambda) e^{-s(\lambda + \tau)} d\lambda \right) d\tau \\ &= \int_{0^-}^{+\infty} v_1(\tau) e^{-s\tau} \left(\int_{0^-}^{+\infty} v_2(\lambda) e^{-s\lambda} d\lambda \right) d\tau \\ &= \underbrace{\int_{0^-}^{+\infty} v_1(\tau) e^{-s\tau} d\tau}_{V_1(s)} \underbrace{\left(\int_{0^-}^{+\infty} v_2(\lambda) e^{-s\lambda} d\lambda \right)}_{V_2(s)} \end{aligned}$$

7.3 Trasformate di Laplace Notevoli

• Impulso Ideale Unitario

$$\mathcal{L}[\delta(t)] \rightarrow \int_{0^-}^{+\infty} \delta(t) e^{-st} dt$$

Proprietà del Campionamento $\rightarrow v(t) = e^{-st}$, quindi $e^{-s0} = 1$

$$V(s) = 1 \quad RdC = \mathbb{C}$$

• Segnale generico

$$\begin{aligned} \mathcal{L}[u(t)] &= \frac{1}{s} & RdC = Re(s) > 0 \\ \mathcal{L}[-u(-t)] &= \frac{1}{s} & RdC = Re(s) < 0 \end{aligned}$$

- Gradino Unitario

$$\begin{aligned}\mathcal{L}[\delta_{-1}(t)] &= \int_{0^-}^{+\infty} \delta_{-1}(t) e^{-st} dt \\ &= \int_{0^-}^{+\infty} e^{-st} dt = -\frac{e^{-st}}{s} \Big|_{0^-}^{+\infty} = \frac{1}{s}\end{aligned}$$

- Impulso Ritardato

$$\mathcal{L}[\delta(t - t_0)] = \left(\int_{0^-}^{+\infty} \delta(t) e^{-st} dt \right) e^{-st_0} = e^{-st_0}$$

- Esponenziale Causale

$$v(t) = e^{\lambda t} \delta_{-1}(t)$$

$$\begin{aligned}\mathcal{L}[v(t)] &= V(s - \lambda) = \frac{1}{s - \lambda} \quad \text{con } V(s) = \mathcal{L}[\delta_{-1}(t)] \\ RdC &= \{s \in \mathbb{C} : Re(s) > Re(\lambda)\}\end{aligned}$$

- Esponenziale Causale moltiplicato per Funzione Polinomiale

$$v(t) = \frac{t^\rho}{\rho!} e^{\lambda t} \delta_{-1}(t)$$

$$\begin{aligned}\mathcal{L}[v(t)] &= \frac{1}{\rho!} \mathcal{L}[t^\rho e^{\lambda t} \delta_{-1}(t)] \\ &= \frac{(-1)^\rho}{\rho!} \frac{d^\rho}{ds^\rho} \mathcal{L}[e^{\lambda t} \delta_{-1}(t)] \\ &= \frac{(-1)^\rho}{\rho!} \left(\frac{d^\rho}{ds^\rho} \frac{1}{s - \lambda} \right) = \frac{1}{(s - \lambda)^{\rho+1}}\end{aligned}$$

- Seno

$$\mathcal{L}[\sin(\omega t)] = \frac{\omega^2}{s^2 + \omega^2}$$

Dimostrazione:

Usiamo la *Formula di Eulero* per aiutarci con la dimostrazione

$$\begin{aligned}
 \mathcal{L}[\sin(\omega t)] &= \mathcal{L}\left[\frac{e^{j\omega t} - e^{-j\omega t}}{2j}\right] \\
 &= \frac{1}{2j} \left(\mathcal{L}[e^{j\omega t}] - \mathcal{L}[e^{-j\omega t}] \right) \\
 &= \frac{1}{2j} \left(\frac{1}{s - j\omega} - \frac{1}{s + j\omega} \right) \\
 &= \frac{1}{2j} \left(\frac{s + j\omega - s + j\omega}{s^2 + \omega^2} \right) = \frac{\omega}{s^2 + \omega^2}
 \end{aligned}$$

• Coseno

$$\mathcal{L}[\cos(\omega t)] = \frac{s^2}{s^2 + \omega^2}$$

Dimostrazione:

Usiamo la *Formula di Eulero* per aiutarci con la dimostrazione

$$\begin{aligned}
 \mathcal{L}[\cos(\omega t)] &= \mathcal{L}\left[\frac{e^{j\omega t} + e^{-j\omega t}}{2}\right] \\
 &= \frac{1}{2} \left(\mathcal{L}[e^{j\omega t}] + \mathcal{L}[e^{-j\omega t}] \right) \\
 &= \frac{1}{2} \left(\frac{1}{s - j\omega} + \frac{1}{s + j\omega} \right) \\
 &= \frac{1}{2} \left(\frac{s + j\omega + s - j\omega}{s^2 + \omega^2} \right) = \frac{s}{s^2 + \omega^2}
 \end{aligned}$$

7.4 Sistemi LTI Causali: Analisi nel Dominio Complesso

$$\begin{aligned}
 a_n \frac{d^n v(t)}{dt^n} + \dots + a_0 v(t) &= b_m \frac{d^m u(t)}{dt^m} + \dots + b_0 u(t) \\
 u(t) &= v(t) \delta_{-1}(t) \quad a_n, b_m \neq 0, n \geq m
 \end{aligned}$$

Se $u(t)$ ammette Trasformata di Laplace, $v(t)$ ammette Trasformata di Laplace

$$\begin{aligned}
 U(s) &= \mathcal{L}[u(t)] \quad V(s) = \mathcal{L}[v(t)] \\
 \mathcal{L}[v'(t)] &= s^i V(s) - \sum_{k=0}^{i-1} \left. \frac{d^k v(t)}{dt^k} \right|_{t=0^-} \cdot s^{i-1-k}
 \end{aligned}$$

Applico Trasformata di Laplace

$$a_n \left[s^n V(s) - \sum_{k=0}^{n-1} \frac{d^k v(t)}{dt^k} \Big|_{t=0^-} \cdot s^{n-1-k} \right] + a_{n-1} \left[s^{n-1} V(s) - \sum_{k=0}^{n-2} \frac{d^k v(t)}{dt^k} \Big|_{t=0^-} \cdot s^{n-2-k} \right] + \dots \\ \dots + a_0 V(s) = b_m s^m U(s) + \dots + b_0 U(s)$$

Quindi

$$\underline{(a_n s^n + a_{n-1} s^{n-1} + \dots + a_0) V(s) - a_n V(0^-) s^{n-1} - [a_{n-1} v(0^-) + a_n v'(0^-)] s^{n-2} -} \\ - \left[\sum_{k=0}^{n-1} \frac{a_{k-1} d^k v(t)}{dt^k} \Big|_{t=0^-} \right] = \underline{(b_m s^m + \dots + b_0) U(s)}$$

Risulta

$$\underline{d(s)} V(s) - \underline{p(s)} = \underline{n(s)} U(s) \\ \Rightarrow V(s) = \frac{p(s)}{d(s)} + \frac{n(s)}{d(s)} U(s)$$

con $d(s)$ polinomio caratteristico.

$\frac{p(s)}{d(s)}$ dipende solo dalle condizioni iniziali su $v(t)$ e dal polinomio caratteristico.

Rappresenta la Trasformata di Laplace della *Risposta Libera*

$$V_l(s) = \frac{p(s)}{d(s)}$$

$\frac{n(s)}{d(s)}$ dipende solo dal sistema e dall'ingresso.

Rappresenta la Trasformata di Laplace della *Risposta Forzata*

$$V_f(s) = \frac{n(s)}{d(s)} U(s)$$

$$\mathcal{L}[h(t)] = H(s) = \frac{n(s)}{d(s)}$$

Definiamo $H(s)$ come *Funzione di Trasferimento*.

7.5 Rappresentazione della Funzione di Trasferimento

$H(s)$ è la Trasformata di Laplace della *Risposta Impulsiva*

$$h(t) = d_0 \delta(t) + \sum_{i=1}^n \sum_{\rho=0}^{\mu-1} d_{i,\rho} e^{\lambda_i t} \frac{t^\rho}{\rho!} \delta_{-1}(t) \\ H(s) d_0 + \sum_{i=1}^n \sum_{\rho=0}^{\mu-1} \frac{d_{i,\rho}}{(s - \lambda_i)^{\rho+1}}$$

L'ascissa di convergenza di $H(s)$ è

$$\alpha = \{\max(\operatorname{Re}(\lambda_i) : \exists \rho \text{ t.c. } d_{i,\lambda} \neq 0)\}$$

Con le opportune operazioni algebriche

$$H(s) = \frac{\bar{n}(s)}{(s - \lambda_1)^{\mu_1} (s - \lambda_2)^{\mu_2} \cdots (s - \lambda_n)^{\mu_n}} \quad \bar{n}(s) = \frac{n(s)}{\alpha_n}$$

Fattorizzando si ottiene

$$H(s) = K \frac{(s - z_1)(s - z_2) \cdots (s - z_n)}{(s - p_1)(s - p_2) \cdots (s - p_n)}$$

dove z e p non sono necessariamente distinti.

Con questa rappresentazione si possono evidenziare gli *zeri* ed i *poli* di $H(s)$.

Se $\{z_1, \dots, z_n\} \cap \{p_1, \dots, p_n\} = \emptyset$ e quindi $H(s)$ irriducibile

- Gli zeri (valori di s per cui $H(s) = 0$) sono le zeta al numeratore
- I poli (valori di s per cui $H(s) = \infty$) sono le p al denominatore

7.6 Diagrammi a Blocchi (Metodo di Mason)

Il *Diagramma a Blocchi* è la rappresentazione grafica di un sistema. Il nostro obiettivo è quello di semplificare il diagramma a blocchi al fine di ottenere la *Funzione di Trasferimento* di quel sistema.

Per fare questo ci avvaliamo del *Metodo di Mason* che ci permette di rappresentare la *FdT* di un sistema tramite questa formula

$$FdT = \frac{1}{\Delta} \sum_i P_i \Delta_i$$

dove P_i viene chiamato *percorso* e Δ , Δ_i vengono chiamati *determinanti*.

Il metodo è molto semplice

1. Trovo tutti i *percorsi* del sistema (ovvero tutte le strade che dall'inizio del grafo portano alla fine) ricordando che, se uno di questi passa per un *nodo sommatore* con segno meno, coniugo il percorso.
2. Trovo tutti i *cicli* nel grafo.
3. Calcolo Δ con la formula

$$\Delta = 1 - \sum_i A_i + \sum_{i,j} A_i A_j$$

dove A rappresenta un *ciclo*.

La prima sommatoria rappresenta la somma di tutti i cicli, la seconda la somma di tutti i cicli che non si toccano, ovvero i cicli che **non** hanno alcun nodo in comune.

4. Calcolo FdT nella forma

$$FdT = \frac{1}{\Delta} \sum_i P_i \Delta_i$$

dove

$$\Delta_i = \begin{cases} 1 & \text{se } P_i \text{ tocca quel ciclo} \\ (1 - \text{ciclo}) & \text{se } P_i \text{ non tocca quel ciclo} \end{cases}$$

7.7 Stabilità BIBO nel Dominio delle Trasformate

Un sistema è *BIBO Stabile* sse tutte le soluzioni λ_i pesate per un coefficiente non nullo $h(t)$ sono parte reale negativa.

Una volta semplificato $H(s)$ tutti i p_i sono esattamente i λ_i non pesati da un coefficiente nullo.

Un sistema con funzione di trasferimento $H(s)$ è *BIBO Stabile* sse tutti i poli p hanno parte reale minore di 0

$$\forall p : \operatorname{Re}(p) < 0$$

7.8 Antitrasformata Unilatera di Laplace

La Trasformata di Laplace è un operatore iniettivo sotto le seguenti condizioni

1. Prende in considerazione segnali causali o li considera solo in $[0, +\infty)$
2. Identifica tra loro funzioni che differiscono su un insieme di misura nulla in \mathbb{R}_+

L'*Antitrasformata di Laplace* \mathcal{L}^{-1} di una funzione razionale a coefficienti in \mathbb{C} è unica

$$\exists! \mathcal{L}^{-1}[V(s)]$$

Se $V(s) \in \mathbb{C}$ allora può essere decomposta in frazioni parziali di cui è nota l'antitrasformata

$$V(s) = \frac{\bar{n}(s)}{\bar{d}(s)} \quad \bar{n}(s), \bar{d}(s) \neq 0$$

posso ottenere l'antitrasformata come segue

1. Divido $\bar{n}(s)$ per $\bar{d}(s)$

$$V(s) = q(s) + \frac{r(s)}{\bar{d}(s)}$$

Il polinomio $q(s)$ sarà nella forma

$$\sum_{i=0}^k q_i s^i$$

e la sua Antitrasformata di Laplace è combinazione lineare di componenti impulsive

$$\sum_{i=0}^k q_i \delta_i(t)$$

tali che

$$\mathcal{L}^{-1}[V(s)] = \sum_{i=0}^k q_i \delta_i(t) + \mathcal{L}^{-1}[V_{SP}(s)]$$

con

$$V_{SP}(s) = \frac{r(s)}{\bar{d}(s)}$$

2. Fattorizzando $\bar{d}(s) = (s - \lambda_i)^{\mu_i} \cdot (s - \lambda_r)^{\mu_r}$ si ottiene

$$\begin{aligned} V_{SP}(s) &= \frac{r(s)}{(s - \lambda_1)^{\mu_1} (s - \lambda_2)^{\mu_2} \dots (s - \lambda_n)^{\mu_n}} \\ &= \sum_{i=1}^r \sum_{\rho=0}^{\mu_i-1} \frac{C_{i,\rho}}{(s - \lambda_i)^{\rho+1}} \end{aligned}$$

L'antitrasformata della seconda è

$$v_{SP}(t) = \mathcal{L}^{-1}[V_{SP}(s)] = \sum_{i=1}^r \sum_{\rho=0}^{\mu_i-1} C_{i,\rho} e^{\lambda_i t} \frac{t^\rho}{\rho!} \delta_{-1}(t)$$

Unendo i due si ottiene

$$\mathcal{L}^{-1}[V(s)] = \sum_{i=0}^k q_i \delta_i(t) + \sum_{i=1}^r \sum_{\rho=0}^{\mu_i-1} C_{i,\rho} e^{\lambda_i t} \frac{t^\rho}{\rho!} \delta_{-1}(t)$$

8 Serie di Fourier

La uso per rappresentare un qualsiasi segnale periodico.

Ogni combinazione lineare di fasori con frequenze multiple di una frequenza di potenza f_0 , è un segnale periodico di periodo $\frac{1}{T_0}$.

Qualunque segnale periodico $v(t)$ di periodo T_0 è riscrivibile come una sommatoria infinita di termini fasoriali

$$v(t) = \sum_{k=-\infty}^{+\infty} v_k e^{j2\pi f_0 k t}$$

con

$$f_0 = \frac{1}{T_0} \quad \underline{\text{Equazione di Sintesi}}$$

purchè questa converga.

I v_k sono dati dall'equazione

$$v_k = \frac{1}{T_0} \underbrace{\int_{t_0}^{T_0} v(t) e^{j2\pi f_0 k t} dt}_{\text{Equazione di Analisi}}$$

Se la serie converge prende il nome di *Serie di Fourier*.

8.1 Convergenza della Serie di Fourier

Sia $v(t)$ funzione periodica di periodo T_0 generalmente continua e derivabile su $[t_0, t_0 + T_0)$, $t_0 \in \mathbb{R}$, con derivata generalmene continua e limitata in $[t_0, t_0 + T_0)$, allora essa risulta sommabile, al quadrato sommabile e sviluppabile secondo Fourier.

Sotto queste ipotesi la serie converge e

$$\int_{-\infty}^{+\infty} |v(t)| dt < +\infty \quad \int_{-\infty}^{+\infty} |v(t)^2| dt < +\infty$$

Se v è discontinua restituisce la media aritmetica tra il limite destro e quello sinistro

$$\sum_{k=-\infty}^{+\infty} v_k e^{j2\pi f_0 k t} = \frac{v(t_0^-) + v(t_0^+)}{2}$$

8.2 Rappresentazione Trigonometrica Serie di Fourier

Se $v(t)$, sviluppabile secondo Fourier, è reale

$$v_k = \frac{1}{T_0} \int_{t_0}^{T_0} v(t) e^{j2\pi f_0 k t} dt = \bar{v}_k$$

Ricordando che $|v_k| = |\bar{v}_k|$ e $\arg(v_k) = -\arg(\bar{v}_k)$, allora

$$\begin{aligned} v(t) &= \sum_{k=-\infty}^{-1} |v_k| e^{j \arg(v_k)} e^{j 2\pi f_0 k t} dt + v'_0 + \sum_{k=1}^{+\infty} |v_k| e^{j \arg(v_k)} e^{j 2\pi f_0 k t} dt \\ &= \sum_{k=-\infty}^{-1} |v_k| e^{-j \arg(v_k)} e^{-j 2\pi f_0 k t} dt + \sum_{k=1}^{+\infty} |v_k| e^{j \arg(v_k)} e^{j 2\pi f_0 k t} dt + v_0 \end{aligned}$$

Invocando la *Formula di Eulero*

$$v(t) = v_0 + 2 \sum_{k=1}^{+\infty} |v_k| \cos(2\pi f_0 k t + \arg(v_k))$$

oppure

$$v(t) = v_0 + \sum_{k=1}^{+\infty} A_k \cos(2\pi f_0 k t) + \sum_{k=1}^{+\infty} B_k \sin(2\pi f_0 k t)$$

dove

$$\begin{aligned} A_k &= 2|v_k| \cos(\arg(v_k)) \\ B_k &= 2|v_k| \sin(\arg(v_k)) \end{aligned}$$

v_0 è il valore medio preso da $v(t)$ in T_0 .

9 Trasformata di Fourier

Permette di descrivere un qualsiasi segnale aperiodico o periodico mediante un continuo di frequenze

- **Equazione di Analisi** (Trasformazione)

$$\mathcal{F}[v(t)] = V(f) = \int_{-\infty}^{+\infty} v(t) e^{-j2\pi f_0 t} dt$$

- **Equazione di Sintesi** (Antitrasformazione)

$$v(t) = \mathcal{F}^{-1}[V(f)] = \int_{-\infty}^{+\infty} V(f) e^{j2\pi f_0 t} dt$$

Viene introdotta una nuova variabile, f . Quando *Trasformo secondo Fourier* un segnale generico nel dominio del tempo $v(t)$, questo viene portato nel dominio delle frequenze, la variabile f rappresenta infatti gli Hertz.

9.1 Trasformata di Fourier Segnali Periodici

Consideriamo un segnale generico $x(t)$ con Trasformata di Fourier $X(f)$ in ω_0

$$X(f) = \delta(\omega_0)$$

Applichiamo la trasformata inversa

$$\begin{aligned} x(t) &= \int_{-\infty}^{+\infty} \delta(\omega_0) e^{j2\pi f_0 t} dt \\ &= e^{j\omega_0 t} \end{aligned}$$

Più in generale, se $X(f)$ è nella forma di una combinazione lineare di impulsi equamente spaziatati nelle frequenze, diventa

$$X(f) = \sum_{k=-\infty}^{+\infty} v_k \delta(k\omega_0)$$

quindi

$$x(t) = \sum_{k=-\infty}^{+\infty} v_k e^{jk\omega_0 t}$$

Possiamo dedurre che la Trasformata di Fourier di un segnale periodico con coefficienti v_k nella Serie di Fourier può essere interpretata come un *Treno di Impulsi* alla frequenza armonica correlata.

9.2 Proprietà Trasformata di Fourier

- Linerità

Dati due segnali generici $v_1(t)$ e $v_2(t)$, se

$$\mathcal{F}[v_1(t)] = V_1(f)$$

e

$$\mathcal{F}[v_2(t)] = V_2(f)$$

allora

$$\mathcal{F}[av_1(t) + bv_2(t)] = aV_1(f) + bV_2(f)$$

- Time Shifting

Dato un segnale generico $v(t)$, se

$$\mathcal{F}[v(t)] = V(f)$$

allora

$$\mathcal{F}[v(t - \tau)] = V(f)e^{-j2\pi f_0 \tau}$$

Dimostrazione:

Consideriamo

$$v(t) = \int_{-\infty}^{+\infty} V(f)e^{-j2\pi f_0 t} dt$$

Sostituiamo ora t con $t - \tau$

$$\begin{aligned} V(t - \tau) &= \int_{-\infty}^{+\infty} V(f)e^{-j2\pi f_0(t-\tau)} dt \\ &= e^{j2\pi f_0 \tau} \cdot \int_{-\infty}^{+\infty} V(f)e^{-j2\pi f_0 t} dt \end{aligned}$$

Che ci porta all'equazione di sintesi, quindi

$$\mathcal{F}[v(t - \tau)] = V(f)e^{-j2\pi f_0 \tau}$$

- Coniugazione e Riflessione

Dato un segnale generico $v(t)$

$$\mathcal{F}[\overline{v(t)}] = \overline{V(-f)}$$

Dimostrazione:

$$\begin{aligned} \mathcal{F}[\overline{v(t)}] &= \int_{-\infty}^{+\infty} \overline{v(t)}e^{-j2\pi f_0 t} dt \\ &= \int_{-\infty}^{+\infty} \overline{v(t)e^{-j2\pi(-f_0)t}} dt = \overline{V(-f)} \end{aligned}$$

$$\mathcal{F}[v(-t)] = V(-f)$$

Dimostrazione:

$$\mathcal{F}[v(-t)] = \int_{-\infty}^{+\infty} v(-t) e^{-j2\pi f_0 t} dt$$

Sostituendo $x = -t$, $dx = -dt$

$$\int_{-\infty}^{+\infty} v(x) e^{j2\pi - f_0 t} dx = V(-f)$$

$$\mathcal{F}[\overline{v(t)}] = \overline{V(f)}$$

Dimostrazione:

$$\mathcal{F}[\overline{v(t)}] = \int_{-\infty}^{+\infty} \overline{v(t)} e^{-j2\pi f_0 t} dt$$

Sostituendo $x = -t$, $dx = -dt$

$$\begin{aligned} \int_{-\infty}^{+\infty} \overline{v(x)} e^{-j2\pi f_0 x} dx &= \int_{-\infty}^{+\infty} \overline{v(x) e^{-j2\pi f_0 x}} dx \\ &= \overline{V(f)} \end{aligned}$$

- **Cambio di Scala**

Dato un segnale generico $v(t)$

$$\mathcal{F}[v(rt)] = \frac{1}{r} V\left(\frac{f}{r}\right)$$

- **Proprietà della Derivata**

Dato un segnale generico $v(t)$

$$\mathcal{F}[v(t)'] = (j2\pi f_0) V(f)$$

Questa definizione si può estendere alla derivata di ordine i

$$\mathcal{F}\left[\frac{d^i v(t)}{dt^i}\right] = (j2\pi f_0)^i V(f)$$

- **Integrazione nel Dominio del Tempo**

Dato un segnale generico $v(\tau)$

$$\int_{-\infty}^t v(\tau) dt = \frac{V(f)}{j2\pi f_0} + \frac{1}{2} V(0) \delta(f)$$

- **Convoluzione**

Dati due segnali generici $v_1(t)$ e $v_2(t)$ aventi Trasformata di Fourier $V_1(f)$ e $V_2(f)$, allora

$$\mathcal{F}[v_1(t) \otimes v_2(t)] = V_1(f) \cdot V_2(f)$$

da questo possiamo dedurre che valga anche l'inversa

$$\mathcal{F}[v_1(t) \cdot v_2(t)] = V_1(f) \otimes V_2(f)$$

9.3 Trasformate di Fourier Notevoli

Molte di queste sono identiche alle corrispondenti *Trasformate di Laplace* tenendo a mente che, in questo caso, $s = j2\pi f$.

- **Impulso Unitario**

$$\mathcal{F}[\delta(t)] = \int_{-\infty}^{+\infty} \delta(t) e^{-j2\pi f_0 t} dt = e^{-j2\pi f_0 0} = 1$$

- **Impulso Traslato**

$$\mathcal{F}[\delta(t - t_0)] = \int_{-\infty}^{+\infty} \delta(t - t_0) e^{-j2\pi f_0 t} dt = e^{-j2\pi f_0 t_0}$$

- **Box**

$$\begin{aligned} \mathcal{F}\left[\Pi\left(\frac{t}{T}\right)\right] &= \int_{-\infty}^{+\infty} \Pi\left(\frac{t}{T}\right) e^{-j2\pi f_0 t} dt \\ &= \int_{-T/2}^{+T/2} 1 e^{-j2\pi f_0 t} dt \\ &= \left. \frac{e^{-j2\pi f_0 t}}{-j2\pi f_0} \right|_{-T/2}^{+T/2} \\ &= \frac{1}{-j2\pi f_0} (e^{-j2\pi f_0 (T/2)} - e^{-j2\pi f_0 (-T/2)}) \\ &= T \left(\frac{1}{\pi T f_0} \right) \left(\frac{e^{j(\pi T f_0)} - e^{-j(\pi T f_0)}}{2j} \right) \\ &= T \frac{\sin(\pi T f_0)}{\pi T f_0} = T \operatorname{sinc}(T f_0) \end{aligned}$$

- **Funzione Costante**

Dato un segnale di potenza A rapportato ad una Box t.c. $v_T(t) = A \Pi\left(\frac{t}{T}\right)$

$$\mathcal{F}\left[A \Pi\left(\frac{t}{T}\right)\right] = V_T(f) = A \int_{-T/2}^{+T/2} 1 e^{-j2\pi f_0 t} dt = AT \operatorname{sinc}(T f_0)$$

Facendo tendere $T \rightarrow +\infty$

$$\mathcal{F}[A] = \lim_{T \rightarrow +\infty} V_T(t) = \lim_{T \rightarrow +\infty} AT \operatorname{sinc}(Tf_0) = A\delta(f)$$

- **Fasore**

Dato un segnale di potenza $e^{j2\pi ft}$ rapportato ad una Box t.c. $v_T(t) = e^{j2\pi ft} \Pi\left(\frac{t}{T}\right)$

$$\begin{aligned} \mathcal{F}[e^{j2\pi ft} \Pi\left(\frac{t}{T}\right)] &= \int_{-T/2}^{+T/2} e^{j2\pi ft} e^{-j2\pi f_0 t} dt \\ &= \int_{-T/2}^{+T/2} 1 e^{-j2\pi(f-f_0)t} dt \\ &= T \operatorname{sinc}(T(f-f_0)) \end{aligned}$$

Facendo tendere $T \rightarrow +\infty$

$$\mathcal{F}[e^{j2\pi ft}] = \lim_{T \rightarrow +\infty} V_T(t) = \lim_{T \rightarrow +\infty} T \operatorname{sinc}(T(f-f_0)) = \delta(f-f_0)$$

- **Coseno**

Tramite la *Formula di Eulero* si può notare che avremo una serie di impulsi traslati come risultato

$$\begin{aligned} \mathcal{F}[\cos(2\pi ft)] &= \int_{-\infty}^{+\infty} \cos(2\pi ft) e^{-j2\pi f_0 t} dt \\ &= \int_{-\infty}^{+\infty} \left(\frac{e^{j2\pi ft} + e^{-j2\pi ft}}{2} \right) e^{-j2\pi f_0 t} dt \\ &= \frac{1}{2j} \left(\mathcal{F}[e^{j2\pi ft}] + \mathcal{F}[e^{j2\pi(-f)t}] \right) \\ &= \frac{1}{2j} (\delta(f+f_0) + \delta(f_0-f)) \end{aligned}$$

- **Seno**

Analogamente al coseno, anche per la funzione seno utilizziamo la *Formula di Eulero* ottenendo come risultato una serie di impulsi traslati

$$\begin{aligned} \mathcal{F}[\sin(2\pi ft)] &= \int_{-\infty}^{+\infty} \sin(2\pi ft) e^{-j2\pi f_0 t} dt \\ &= \int_{-\infty}^{+\infty} \left(\frac{e^{j2\pi ft} - e^{-j2\pi ft}}{2j} \right) e^{-j2\pi f_0 t} dt \\ &= \frac{1}{2j} \left(\mathcal{F}[e^{j2\pi ft}] - \mathcal{F}[e^{j2\pi(-f)t}] \right) \\ &= \frac{1}{2j} (-\delta(f+f_0) + \delta(f_0-f)) \end{aligned}$$

- **Treno di Impulsi (Pettine di Dirac)**

Si applica la *Trasformata di Fourier* ad ogni impulso $\delta(t)$, definiamo $f_T = 1/T$. Il risultato è una serie di impulsi distanziati di f_T

$$\begin{aligned}\mathcal{F}[\delta_T(t)] &= \mathcal{F}\left[\sum_{k=-\infty}^{+\infty} \delta(t - kT)\right] \\ &= \sum_{k=-\infty}^{+\infty} \mathcal{F}[\delta(t - kT)] \\ &= \sum_{k=-\infty}^{+\infty} e^{-j2\pi f_0 kT} \\ &= \frac{1}{T} \sum_{k=-\infty}^{+\infty} \delta(f - k(1/T)) \\ &= f_T \cdot \delta_{f_t}(f)\end{aligned}$$

10 Diagrammi di Bode

Servono per rappresentare correttamente la *Risposta in Frequenza*.

Esistono due grafici distinti, il **Diagramma di Bode del Modulo** ed il **Diagramma di Bode della Fase**.

Entrambi i grafici sono in scala *semilogaritmica*, questo vuol dire che i due assi hanno scale diverse, l'asse delle ascisse è in *scala logaritmica* mentre l'asse delle ordinate è in *scala lineare*.

Il primo passo per tracciare entrambi i diagrammi è portare la *Funzione di Trasferimento* (FdT da ora in poi) nella *Forma di Bode*. Per fare questo poniamo $s = j\omega$

$$H(j\omega) = \frac{K_B}{(j\omega)^g} \frac{\prod_i (1 + j\omega\tau_{zi})^{\mu_i} \prod_i (1 - \frac{\omega^2}{\omega_{n_{zi}}^2} + \frac{2\rho_{zi}}{\omega_{n_{zi}}} j\omega)^{\mu_i}}{\prod_i (1 + j\omega\tau_{pi})^{\mu_i} \prod_i (1 - \frac{\omega^2}{\omega_{n_{pi}}^2} + \frac{2\rho_{pi}}{\omega_{n_{pi}}} j\omega)^{\mu_i}}$$

con

- $K_B \rightarrow$ Guadagno di Bode
- $g \rightarrow$ Tipo del sistema
- $\tau \rightarrow$ Costante di Tempo
- $\rho \rightarrow$ Coefficiente di Smorzamento (< 1 altrimenti non ho trinomi indivisibili)
- $\omega_n \rightarrow$ Pulsazione Naturale (sempre > 0)

Rappresento ora $H(j\omega)$ in *decibel*, utilizziamo la notazione

$$|H(j\omega)|_{dB}$$

Ricordiamo che

$$|H(j\omega)|_{dB} = 20 \log_{10} |H(j\omega)|$$

N.B: I decibel non sono un unità di misura!

Quindi, rappresentiamo in decibel l'FdT in Forma di Bode

$$\begin{aligned} |H(j\omega)|_{dB} &= 20 \log_{10} |H(j\omega)| \\ &= 20 \log_{10} |K_B| - 20g \log_{10} |j\omega| + \sum_i 20 \log_{10} |(1 + j\omega\tau_{zi})^{\mu_i}| + \\ &\quad + \sum_i 20 \log_{10} \left| \left(1 - \frac{\omega^2}{\omega_{n_{zi}}^2} + j \frac{2\rho_{zi}\omega}{\omega_{n_{zi}}^2} \right)^{\mu_i} \right| - \sum_i 20 \log_{10} |(1 + j\omega\tau_{pi})^{\mu_i}| - \\ &\quad + \sum_i 20 \log_{10} \left| \left(1 - \frac{\omega^2}{\omega_{n_{pi}}^2} + j \frac{2\rho_{pi}\omega}{\omega_{n_{pi}}^2} \right)^{\mu_i} \right| \end{aligned}$$

Possiamo quindi individuare quattro *Termini Fondamentali* partendo da questa equazione

- $H_a(j\omega) = k_B$ (Termine Guadagno)
- $H_b(j\omega) = \frac{1}{j\omega}$ (Termine Monomio)
- $H_c(j\omega) = \frac{1}{1+j\omega\tau}$ (Termine Binomio)
- $H_d(j\omega) = \frac{1}{1-\frac{\omega^2}{\omega_n^2}+j\frac{2\rho\omega}{\omega_n}}$ (Termine Trinomio)

con le p che rappresentano i *poli* e le z che rappresentano gli *zeri*.

Nelle sezioni a seguire, per comodità, Considereremo i vari termini espressi come *poli*. Teniamo a mente che il grafico, se espressi invece come *zeri*, risulterebbe specchiato rispetto all'asse delle ascisse.

Per quanto riguarda il *Diagramma di Bode della Fase* l'unità di misura sono i gradi.

Per aiutare la comprensione dell'argomento verranno utilizzati degli esempi concreti ed i grafici verranno creati utilizzando il comando *bode()* di **MATLAB**.

10.1 Termine Guadagno

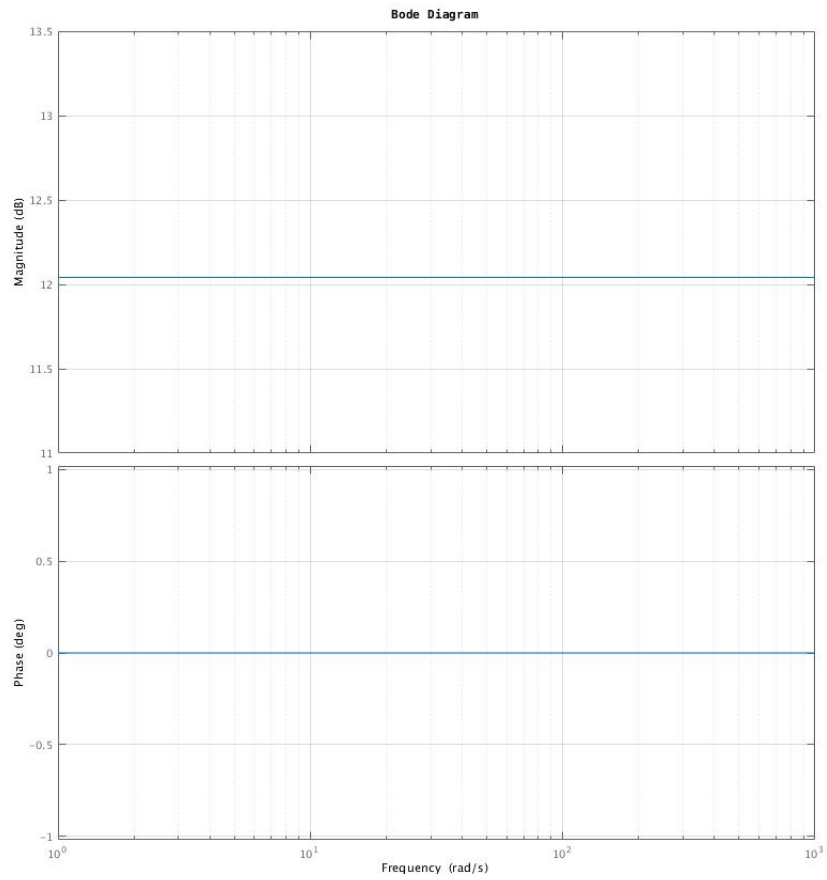
$$|H_a(j\omega)|_{dB} = 20 \log_{10}|H_a(j\omega)|$$

ponendo, per esempio, $K_B = 4$ otteniamo

$$|H_a(j\omega)|_{dB} = 20 \log_{10}|4| \approx 12$$

Abbiamo quindi un *Guadagno di Bode* (K_B) costante pari a *12 dB*.

Per quanto riguarda la *Fase* abbiamo 0° costanti in quanto $K_B > 0$, nel caso in cui $K_B < 0$ avremo -180° .



10.2 Termine Monomio

$$\begin{aligned}
 |H_b(j\omega)|_{dB} &= 20 \log_{10} |H_b(j\omega)| \\
 &= 20 \log_{10} \left| \frac{1}{j\omega} \right| \\
 &= -20 \log_{10} |j\omega| \\
 &= -20 \log_{10} |\omega|
 \end{aligned}$$

Il che vuol dire che la retta perde 20 dB per decade in maniera costante. Se

avessimo avuto $g > 1$ ci saremmo trovati nella seguente situazione

$$\begin{aligned}|H_b(j\omega)|_{dB} &= 20 \log_{10} \left| \frac{1}{(j\omega)^g} \right| \\ &= -20g \log_{10} |\omega|\end{aligned}$$

Per quanto riguarda il diagramma della Fase abbiamo

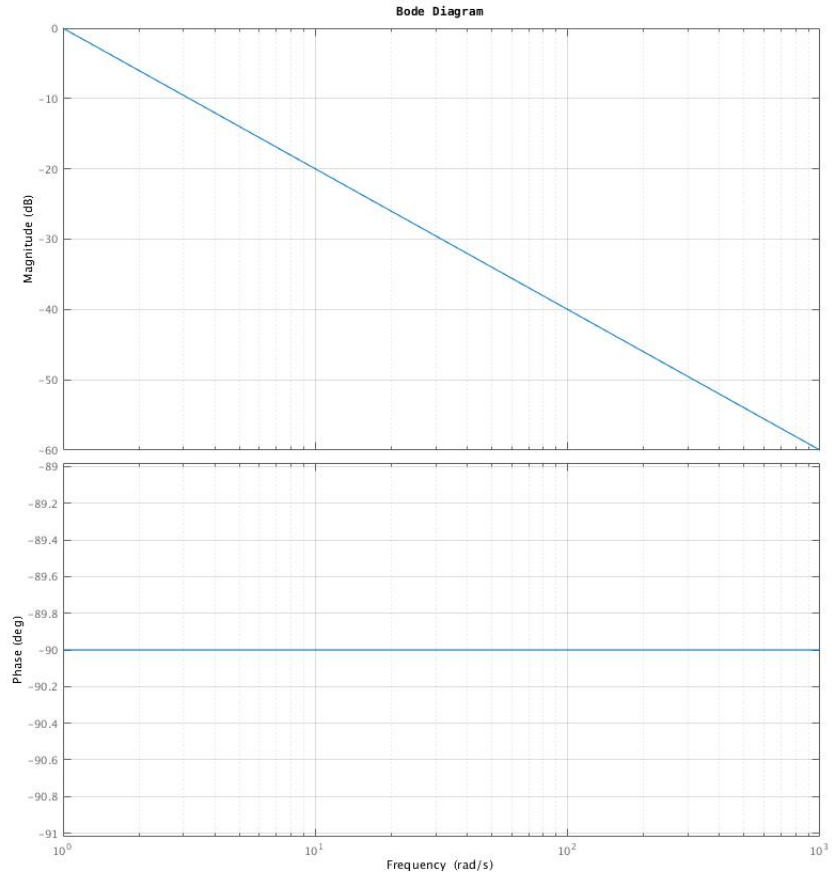
$$\angle(H_b(j\omega)) = \angle\left(\frac{1}{j\omega}\right) = -90^\circ$$

nel caso avessi $g > 1$

$$\angle(H_b(j\omega)) = \angle\left(\frac{1}{(j\omega)^g}\right) = -g90^\circ$$

Nel seguente grafico prendimo in considerazione

$$H_b(j\omega) = \frac{1}{s}$$



10.3 Termine Binomio

In questo caso dobbiamo andare a vedere il comportamento di ω quando diventa molto piccolo o molto grande. Procediamo come segue

$$\begin{aligned}
 |H_c(j\omega)|_{dB} &= 20 \log_{10} |H_c(j\omega)| \\
 &= 20 \log_{10} \left| \frac{1}{1 + j\omega\tau} \right| \\
 &= -20 \log_{10} |1 + j\omega\tau| \\
 &= -20 \log_{10} \sqrt{1 + (\omega\tau)^2} \approx \begin{cases} -20 \log_{10} \sqrt{1} = 0, & \omega \ll \frac{1}{|\tau|} \\ -20 \log_{10} |\omega\tau|, & \omega \gg \frac{1}{|\tau|} \end{cases}
 \end{aligned}$$

Quindi, asintoticamente, so che avrò 0 dB fino a $\frac{0.1}{|\tau|}$ e da $\frac{10}{|\tau|}$ in poi avrò una perdita costante di -20 dB per decade.

Quindi procedo a calcolare il valore in dB in $\omega = \frac{1}{|\tau|}$

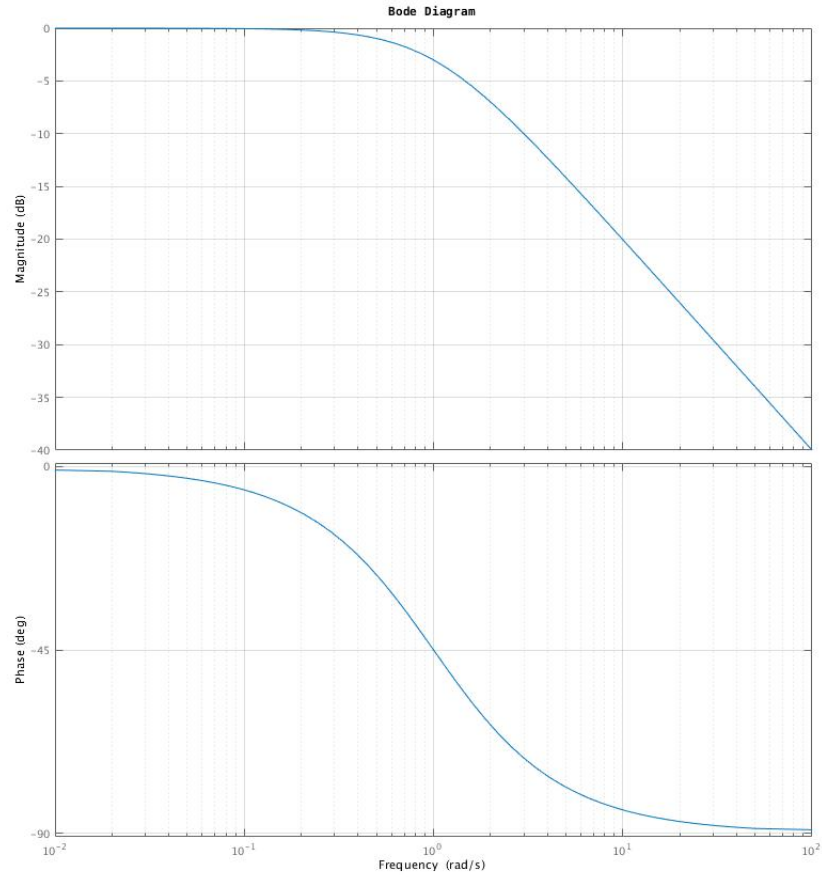
$$\begin{aligned} |H_c(j\frac{1}{|\tau|})|_{dB} &= 20 \log_{10} \left| \underbrace{j\frac{1}{|\tau|}\tau}_{=\frac{1}{2}} \right| \\ &= -20 \log_{10} \sqrt{2} \approx -3 \end{aligned}$$

Se ho $g > 1$, come nei casi precedenti, moltiplico sia i -3 dB che i -20 dB per g . Ponendo $g = 2$ avrei -40 dB per decade da $\frac{10}{|\tau|}$ in poi e passo per -6 dB in $\omega = \frac{1}{|\tau|}$.

Stessa considerazione va fatta per il diagramma della *Fase*, siamo a 0° fino a $\frac{0.1}{|\tau|}$ e andiamo a $\pm 90^\circ$ in base alla positività o negatività di τ . In $\omega = \frac{1}{|\tau|}$ si passa per i $\pm 45^\circ$ sempre in base al valore di τ .

Nel seguente grafico prendiamo in considerazione

$$H_c(j\omega) = \frac{1}{1+s}$$



10.4 Termine Trinomio

Anche in questo caso, come nel precedente, il grafico dipende dal valore di ω , questa volta rapportato ad ω_n .

$$\begin{aligned}
 |H_d(j\omega)|_{dB} &= 20 \log_{10} \left| \frac{1}{1 - \frac{\omega^2}{\omega_n^2} + j \frac{2\rho\omega}{\omega_n}} \right| \\
 &= -20 \log_{10} \sqrt{\left(1 - \frac{\omega^2}{\omega_n^2}\right)^2 + \frac{4\rho^2\omega^2}{\omega_n^2}} \\
 &\approx \begin{cases} -20 \log_{10} \sqrt{1} \approx 0, & \omega \ll \omega_n \\ -40 \log_{10} \frac{\omega}{\omega_n}, & \omega \gg \omega_n \end{cases}
 \end{aligned}$$

Analogamente a prima ci troviamo, asintoticamente, a 0 dB fino a $0.1\omega_n$ e da $10\omega_n$ avrò una perdita costante di -40 dB per decade.

Per il calcolo del valore in dB in ω_n dipendo da ρ , se $\rho \rightarrow 1$ tutto il termine trinomio tende ad un *termine binomio elevato al quadrato*.

Un caso limite è quello per $|\rho| = 1$ in cui ho il passaggio per -6 dB in ω_n .

Se $|\rho| < 1$, si può dimostrare che per $\rho < \frac{1}{\sqrt{2}} \approx 0.707$ ho un massimo detto *Picco di Risonanza* a frequenza ω_R , detta *Frequenza di Risonanza*

$$\omega_R = \omega_n \sqrt{1 - 2\rho^2}$$

Definisco M_R *Picco di Risonanza*

$$M_R = |H(j\omega_R)| = \frac{1}{2|\rho|\sqrt{1 - 2\rho^2}}$$

N.B: Anche questo va portato in dB!

Cerco anche il punto di passaggio per ω_n

$$|H(j\omega_n)| = \frac{1}{2|\rho|}$$

Si può notare che più ρ diventa piccolo, più ω_R si sposta verso ω_n e, di conseguenza, M_R è sempre più alto di quota.

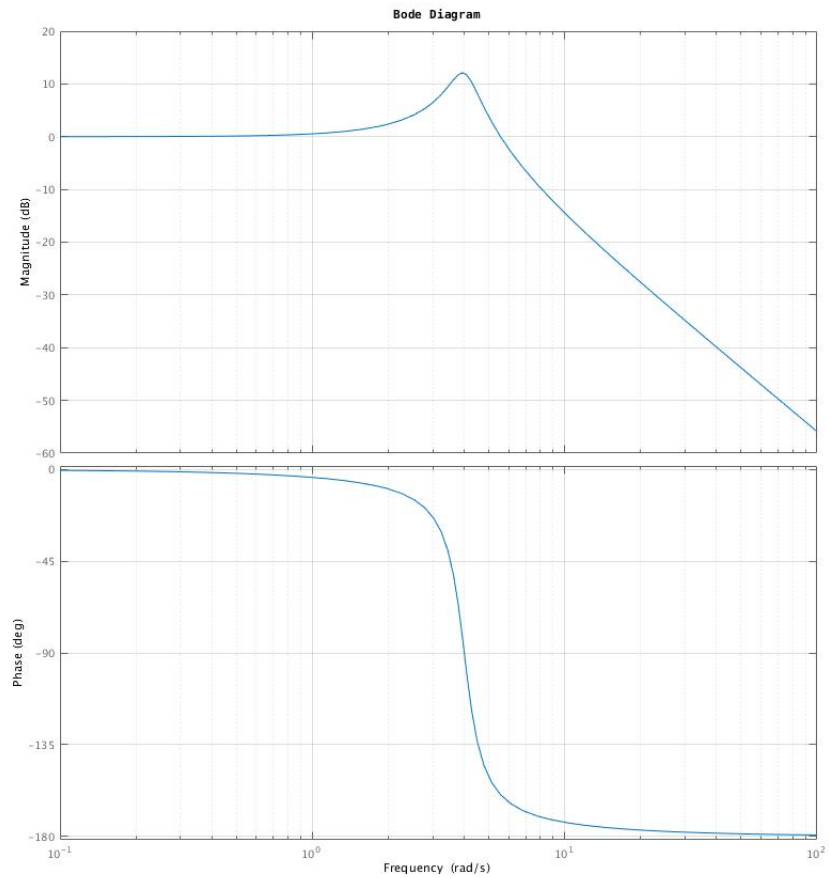
Un altro caso limite è per $\rho = 0$, ossia $\omega_R = \omega_n$, in questo caso ho $M_R \rightarrow \infty$ ed ho un asintoto verticale in ω_n

Come nel termine binomio, se ho $g > 1$ da $10\omega_n$ in poi avrò una perdita costante di $-40g \text{ dB}$ per decade.

Per quanto riguarda il diagramma della *Fase*, analogamente al termine binomio, rimango a 0° fino ad $0.1\omega_n$ e varrà $\pm 180^\circ$ da $10\omega_n$ in poi, passo per $\pm 90^\circ$ in ω_n . Per $\rho = 0$ il diagramma della fase coincide con il *Gradino*.

Nel caso in esempio prendo

$$H_d(j\omega) = \frac{1}{1 + \frac{1}{16}s + \frac{1}{16}s^2}$$



11 Analisi in \mathcal{Z}

11.1 Trasformata Zeta

Equivalente della *Trasformata di Laplace* per il discreto.
 Definiamo la *Trasformata Zeta bilatera* come

$$V(z) = \mathcal{Z}_b[v[n]] = \sum_{k=-\infty}^{+\infty} v[k]z^{-k}$$

con $z = \sigma + j\omega$ variabile complessa.

Considerando solo *sistemi causali*, come per la Trasformata di Laplace, possiamo

ridurre gli estremi della sommatoria ottenendo la *Trasformata Zeta unilatera*

$$V(z) = \mathcal{Z}[v[n]] = \sum_{k=0}^{+\infty} v[k]z^{-k}$$

Si ricorda che viene utilizzata la notazione con parentesi quadre per indicare un segnale discreto invece di un segnale continuo.

11.2 Proprietà della Trasformata Zeta

• Linearità

Dati due segnali discreti generici $v_1[n]$ e $v_2[n]$

$$\mathcal{Z}[av_1[n] + bv_2[n]] = aV_1(z) + bV_2(z)$$

Dimostrazione:

$$\begin{aligned} \mathcal{Z}[av_1[n] + bv_2[n]] &= \sum_{k=0}^{+\infty} (av_1[k] + bv_2[k])z^{-k} \\ &= a \sum_{k=0}^{+\infty} v_1[k]z^{-k} + b \sum_{k=0}^{+\infty} v_2[k]z^{-k} \\ &= aV_1(z) + bV_2(z) \end{aligned}$$

• Time Shifting

Dato un segnale discreto generico $v[n]$

$$\mathcal{Z}[v[n - n_0]] = z^{-n_0}V(z)$$

Dimostrazione:

$$\begin{aligned} \mathcal{Z}[v[n - n_0]] &= \sum_{k=0}^{+\infty} v[k - n_0]z^{-k} \\ &= \sum_{j=-n_0}^{+\infty} v[j]z^{-(j+n_0)} \quad (\text{Ponendo } j = k - n_0) \\ &= \sum_{j=-n_0}^{+\infty} v[j]z^{-j}z^{-n_0} \\ &= z^{-n_0} \sum_{j=-n_0}^{+\infty} v[j]z^{-j} \\ &= z^{-n_0} \sum_{j=0}^{+\infty} v[j]z^{-j} \end{aligned}$$

Essendo $v[n] = 0$ se $n < 0$, si ottiene

$$z^{-n_0} \sum_{j=0}^{+\infty} v[j] z^{-j} = z^{-n_0} V(z)$$

• Moltiplicazione per n (Differenziazione)

Dato un segnale discreto generico $v[n]$

$$\mathcal{Z}[n \cdot v[n]] = -zV'(z)$$

Dimostrazione:

Utilizziamo la *Trasformata Zeta bilatera* per la dimostrazione

$$\begin{aligned} \mathcal{Z}_b[n \cdot v[n]] &= \sum_{k=-\infty}^{+\infty} n \cdot v[k] z^{-k} \\ &= z \sum_{k=-\infty}^{+\infty} k \cdot v[k] z^{-k-1} \\ &= -z \sum_{k=-\infty}^{+\infty} v[k] (-k z^{-k-1}) \\ &= -z \sum_{k=-\infty}^{+\infty} v[k] \frac{d}{dz} (z^{-k}) \\ &= -zV'(z) \end{aligned}$$

- Moltiplicazione per λ^n

Dato un segnale discreto generico $v[n]$

$$\mathcal{Z}[\lambda^n \cdot v[n]] = V\left(\frac{z}{\lambda}\right)$$

Dimostrazione:

$$\begin{aligned}\mathcal{Z}[\lambda^n \cdot v[n]] &= \sum_{k=-\infty}^{+\infty} \lambda^k \cdot v[k] z^{-k} \\ &= \sum_{k=-\infty}^{+\infty} v[k] \left(\frac{z}{\lambda}\right)^{-k} \\ &= V\left(\frac{z}{\lambda}\right)\end{aligned}$$

- Convoluzione

Dati due segnali discreti generici $v_1[n]$ e $v_2[n]$

$$\mathcal{Z}[v_1[n] \otimes v_2[n]] = V_1(z) \cdot V_2(z)$$

Dimostrazione:

Utilizziamo la *Trasformata Zeta bilatera* per la dimostrazione

$$\begin{aligned}\mathcal{Z}[v_1[n] \otimes v_2[n]] &= \mathcal{Z}_b \left[\sum_{l=-\infty}^{+\infty} v_1[l] v_2[n-l] \right] \\ &= \sum_{k=-\infty}^{+\infty} \left[\sum_{l=-\infty}^{+\infty} v_1[l] v_2[k-l] \right] z^{-k} \\ &= \sum_{l=-\infty}^{+\infty} v_1(l) \left(\sum_{k=-\infty}^{+\infty} v_2[k-l] z^{-k} \right) \\ &= \left[\sum_{l=-\infty}^{+\infty} v_1[l] z^{-l} \right] \left[\sum_{k=-\infty}^{+\infty} v_2[k] z^{-k} \right] \\ &= V_1(z) \cdot V_2(z)\end{aligned}$$

11.3 Trasformate Zeta Notevoli

- Costante

$$\begin{aligned}\mathcal{Z}[A] &= \sum_{K=0}^{+\infty} A \cdot z^{-k} \\ &= A \cdot \sum_{K=0}^{+\infty} z^{-k} \\ &= A \cdot \frac{1}{1 - z^{-1}} \\ &= A \cdot \frac{z}{z - 1}\end{aligned}$$

- Impulso

$$\begin{aligned}\mathcal{Z}[\delta[n]] &= \sum_{k=0}^{+\infty} \delta[k] z^{-k} \\ &= z^0 = 1\end{aligned}$$

- Impulso traslato

$$\begin{aligned}\mathcal{Z}[\delta[n - n_0]] &= \sum_{k=0}^{+\infty} \delta[k - n_0] z^{-k} \\ &= z^{-n_0}\end{aligned}$$

- Gradino

$$\begin{aligned}\mathcal{Z}[\delta_{-1}[n]] &= \sum_{k=0}^{+\infty} \delta_{-1}[n] z^{-k} \\ &= \sum_{k=0}^{+\infty} z^{-k} \\ &= \frac{1}{1 - z^{-1}} = \frac{z}{z - 1}\end{aligned}$$

- Esponenziale

Consideriamo un esponenziale generico λ^n moltiplicato per un gradino $\delta_{-1}[n]$

$$\begin{aligned}\mathcal{Z}[\lambda^n \delta_{-1}[n]] &= \mathcal{Z}[\delta_{-1}[n]] \cdot \left(\frac{z}{\lambda}\right) \\ &= \frac{\frac{z}{\lambda}}{\frac{z}{\lambda} - 1} \\ &= \frac{z}{z - \lambda}\end{aligned}$$

- **Segnale Sinusoidale**

Consideriamo il segnale sinusoidale $v[n] = \cos(\theta n + \phi)$ moltiplicato per un gradino $\delta_{-1}[n]$.

Si ricordi che la *Formula di Eulero* è valida anche per i segnali discreti.

$$\begin{aligned}
 \mathcal{Z}[\cos(\theta n + \phi)\delta_{-1}[n]] &= \mathcal{Z}\left[\frac{e^{j(\theta n + \phi)} + e^{-j(\theta n + \phi)}}{2}\delta_{-1}[n]\right] \\
 &= \frac{1}{2}\left(e^{j\phi}\mathcal{Z}[(e^{j\theta})^k\delta_{-1}[k]] + e^{-j\phi}\mathcal{Z}[(e^{-j\theta})^k\delta_{-1}[k]]\right) \\
 &= \frac{1}{2}\left(\frac{ze^{j\theta}}{z - e^{j\theta}} + \frac{ze^{-j\theta}}{z - e^{-j\theta}}\right) \\
 &= \frac{1}{2}\left(\frac{z^2e^{j\phi} - ze^{j(\phi-\theta)} + z^2e^{-j\phi} - ze^{-j(\phi-\theta)}}{z^2 - ze^{j\theta} - ze^{-j\theta} + 1}\right) \\
 &= \frac{z(\cos(\phi)z - \cos(\phi - \theta))}{z^2 - 2\cos(\theta)z + 1}
 \end{aligned}$$

11.4 Antitrasformata Zeta

Per tornare dal *dominio complesso* al *dominio del tempo*, analoga all'*Antitrasformata di Laplace* per i segnali continui.

$$\mathcal{Z}^{-1}[V(z)] = v[n]$$

Il calcolo della *risposta del sistema* è identico a quello usato con la *Trasformata di Laplace*, applicato però a segnali discreti.

$$\begin{aligned}
 V(z) &= V_l(z) + V_f(z) \\
 &= \frac{p(z)}{d(z)} + H(z)U(z) \\
 &= \frac{p(z)}{d(z)} + \frac{n(z)}{d(z)}U(z)
 \end{aligned}$$

Per trovare $V(z)$ ci si può avvalere della forma utilizzata con la *Trasformata di Laplace*, facendo attenzione al numeratore z .

$$\begin{aligned}
 V(z) &= \frac{n(z)}{\prod_{i=1}^{r'} (z - \lambda'_i)^{\mu'_i}} \\
 &= \sum_{i=1}^{r'} \sum_{l=1}^{\mu'_i} C_{i,l} \frac{z}{(z - \lambda'_i)^l} = V'(s)
 \end{aligned}$$

I vari $C_{i,l}$ si ottengono con il metodo dei fratti semplici

$$C_{i,l} = \frac{d^{\mu'_i-l}}{dz^{\mu'_i-l}} \left((z - \lambda'_i)^{\mu'_i} \frac{V'(z)}{z} \right) \Bigg|_{z=\lambda'_i}$$

12 Esercizi

12.1 Risposta di un Sistema

Calcolare la risposta di un sistema espresso nella forma di un *Problema di Cauchy*.

$$\begin{cases} v''(t) - 5v'(t) + 4v(t) = u'(t) - 3u(t) \\ v(0) = 0 \\ v'(0) = 1 \end{cases}$$

con

$$u(t) = e^t \delta_{-1}(t)$$

1. Risolvo l'equazione caratteristica per trovare l'*Evoluzione Libera*

$$s^2 - 5s + 4 = 0 \quad \Delta = 9$$

$$\lambda_{1,2} = \frac{5 \pm \sqrt{9}}{2} = 4 \text{ e } 1$$

Otengo quindi l'Evoluzione Libera, indicata da $v_l(t)$

$$\begin{aligned} v_l(t) &= C_1 e^{4t} + C_2 e^t \\ v'_l(t) &= 4C_1 e^{4t} + C_2 e^t \end{aligned}$$

2. Metto a sistema ed impongo le condizioni iniziali

$$\begin{cases} C_1 + C_2 = 0 \rightarrow C_1 = -C_2 \rightarrow C_1 = \frac{1}{3} \\ 4C_1 + C_2 = 1 \rightarrow -3C_2 = 1 \rightarrow C_2 = -\frac{1}{3} \end{cases}$$

Otengo quindi la *Risposta Libera*

$$v_l(t) = \frac{1}{3} e^{4t} - \frac{1}{3} e^t$$

3. Calcolo l'*Evoluzione Forzata*

$$\begin{aligned} h(t) &= (d_1 e^{4t} + d_2 e^t) \delta_{-1}(t) \\ h'(t) &= (4d_1 e^{4t} + d_2 e^t) \delta_{-1}(t) + (d_1 e^{4t} + d_2 e^t) \delta(t) \\ h''(t) &= (16d_1 e^{4t} + d_2 e^t) \delta_{-1}(t) + 2(4d_1 e^{4t} + d_2 e^t) \delta(t) + (d_1 e^{4t} + d_2 e^t) \delta'(t) \end{aligned}$$

E sostituisco all'equazione del sistema nella seguente forma

$$h''(t) - 5h'(t) + 4h(t) = \delta'(t) - 3\delta(t)$$

$$\begin{aligned}
& (16d_1e^{4t} + d_2e^t)\delta_{-1}(t) + 2(4d_1e^{4t} + d_2e^t)\delta(t) + (d_1e^{4t} + d_2e^t)\delta'(t) + \\
& - 5((4d_1e^{4t} + d_2e^t)\delta_{-1}(t) + (d_1e^{4t} + d_2e^t)\delta(t)) + 4((d_1e^{4t} + d_2e^t)\delta_{-1}(t)) \\
& = \delta'(t) - 3\delta(t) \\
& = (16d_1e^{4t} + d_2e^t)\delta_{-1}(t) + (8d_1e^{4t} + 2d_2e^t)\delta(t) + (d_1e^{4t} + d_2e^t)\delta'(t) + \\
& - (20d_1e^{4t} + 5d_2e^t)\delta_{-1}(t) - (5d_1e^{4t} + 5d_2e^t)\delta(t) + (4d_1e^{4t} + 4d_2e^t)\delta_{-1}(t) + \\
& - \delta'(t) + 3\delta(t) = 0
\end{aligned}$$

Raccolgo e metto a sistema

$$\begin{cases} \delta_{-1}(t)((16\cancel{d_1} + \cancel{d_2}) - (20\cancel{d_1} + 5\cancel{d_2}) + (4\cancel{d_1} + 4\cancel{d_2})) = 0 \\ \delta(t)((8d_1 + 2d_2) - (5d_1 + 5d_2) + 3) = 0 \\ \delta'(t)((d_1 + d_2) - 1) = 0 \end{cases}$$

$$= \begin{cases} 3d_1 - 3d_2 + 3 = 0 \rightarrow 3(-d_2 + 1) - 3d_2 + 3 = 0 \\ d_1 + d_2 - 1 = 0 \rightarrow d_1 = -d_2 + 1 \end{cases}$$

$$= \begin{cases} -3d_2 + 3 - 3d_2 + 3 = 0 \rightarrow -6d_2 = -6 \rightarrow d_2 = 1 \\ d_1 = -1 + 1 \rightarrow d_1 = 0 \end{cases}$$

Otengo quindi l'Evoluzione Forzata, scrivendola con la notazione $h(t)$

$$h(t) = e^t \delta_{-1}(t)$$

4. Calcolo la *Risposta Forzata*

$$\begin{aligned}
v_f(t) &= \int_0^t (e^\tau \underbrace{\delta_{-1}(\tau)}_{=1}) (e^{(t-\tau)} \underbrace{\delta_{-1}(t-\tau)}_{=1}) d\tau \\
&= e^t \left(\int_0^t e^0 d\tau \right) \delta_{-1}(t) \\
&= \frac{1}{2} e^t (t - 0) \delta_{-1}(t) \\
&= \frac{1}{2} e^t t \delta_{-1}(t)
\end{aligned}$$

5. Sommo Risposta Libera e Risposta Forzata per ottenere la *Risposta Totale*

$$\begin{aligned}
v(t) &= v_l(t) + v_f(t) \\
&= \frac{1}{3} e^{4t} - \frac{1}{3} e^t + \frac{1}{2} e^t t \delta_{-1}(t)
\end{aligned}$$

12.2 Stabilità Asintotica e BIBO Stabilità

$$\begin{cases} v''(t) + v'(t) - 2v(t) = u'(t) - u(t) \\ v'(0) = 0 \\ v(0) = 3 \\ u(t) = e^{-2t}\delta_{-1}(t) \end{cases}$$

1. Controllo le radici del polinomio caratteristico ricordando che devono entrambe essere < 0 per avere *Stabilità asintotica*

$$s^2 + s - 2 = 0$$

$$\Delta = 1 + 8 = 9$$

$$\lambda_{1,2} = \frac{1 \pm 3}{2} = 2 \text{ e } -1$$

Quindi **non** ho stabilità asintotica.

2. Nel caso al punto 1 risultasse stabilità asintotica avremo anche *BIBO Stabilità*, in quanto **Stabilità Asintotica** \Rightarrow **BIBO Stabilità**.

In caso contrario analizziamo $H(s)$ per il sistema in questione, ricordando che

$$H(s) = \frac{\text{Eq. Caratteristica } 2^\circ \text{ Membro}}{\text{Eq. Caratteristica } 1^\circ \text{ Membro}}$$

nel nostro caso

$$H(s) = \frac{s - 1}{(s - 2)(s + 1)}$$

Risolvero quindi con il *Metodo dei Fratti Semplici*

$$H(s) = \frac{s - 1}{(s - 2)(s + 1)} = A \frac{1}{s - 2} + B \frac{1}{s + 1}$$

$$A = (s + 1)H(s)|_{s=-1} = \frac{s - 1}{s - 2} \Big|_{s=-1} = \frac{2}{3}$$

$$B = (s - 2)H(s)|_{s=2} = \frac{s - 1}{s + 1} \Big|_{s=2} = \frac{1}{3}$$

Quindi riscrivo $H(s)$ nella forma

$$\frac{2}{3} \left(\frac{1}{s + 1} \right) + \frac{1}{3} \left(\frac{1}{s - 2} \right)$$

Passiamo ora nel *dominio del tempo* tramite l'*Antitrasformata di Laplace*

$$h(t) = \mathcal{L}^{-1}[H(s)] = \frac{2}{3}e^{-t} + \frac{1}{3}e^{2t}$$

Se ne deduce che il sistema non è nemmeno *BIBO Stabile* in quanto le λ sono positive.

12.3 Risposta di un Sistema tramite Trsf. di Laplace

Calcolare la risposta di un sistema espresso nella forma di un *Problema di Cauchy* utilizzando la *Trasformata di Laplace*.

$$\begin{cases} v''(t) - 5v'(t) + 4v(t) = u'(t) - 3u(t) \\ v(0) = 0 \\ v'(0) = 1 \end{cases}$$

con

$$u(t) = e^t \delta_{-1}(t)$$

1. Trasformo il sistema tramite *Trasformata di Laplace*

$$\mathcal{L}[v''(t) - 5v'(t) + 4v(t) = u'(t) - 3u(t)]$$

↓

$$(s^2V(s) - sv(0) - v'(0)) - 5(sV(s) - v(0)) + 4(V(s)) = (sU(s) - v(0)) - 3(U(s))$$

Imponendo le condizioni iniziali otteniamo

$$s^2V(s) - 1 - 5sV(s) + 4V(s) = sU(s) - 3U(s)$$

Raccolgo

$$V(s) \underbrace{(s^2 - 5s + 4)}_{(s-1)(s-4)} = 1 + (s-3)U(s)$$

che equivale a

$$V(s) = \frac{1}{(s-1)(s-4)} + \frac{(s-3)}{(s-1)(s-4)}U(s)$$

dove

- $\frac{1}{(s-1)(s-4)} = V_l(s)$
- $\frac{(s-3)}{(s-1)(s-4)} = H(s)$
- $U(s) = \mathcal{L}[u(t)] = \frac{1}{s-1}$

Riscrivendo tutto come un'unica frazione

$$\begin{aligned} V(s) &= \frac{1}{(s-1)(s-4)} + \frac{(s-3)}{(s-1)^2(s-4)} \\ &= \frac{2(s-2)}{(s-1)^2(s-4)} = F(s) \end{aligned}$$

2. Risolvo utilizzando il Metodo dei Fratti Semplici

$$V(s) = \frac{A}{(s-4)} + \frac{B}{(s-1)} + \frac{C}{(s-1)^2}$$

$$\begin{aligned}
A &= (s-4)F(s)|_{s=4} \\
&= \cancel{(s-4)} \frac{2(s-2)}{(s-1)^2 \cancel{(s-4)}} \Big|_{s=4} \\
&= \frac{2(s-2)}{(s-1)^2} \Big|_{s=4} = \frac{4}{9}
\end{aligned}$$

$$\begin{aligned}
B &= ((s-1)^2 F(s))'|_{s=1} \\
&= 2 \left(\cancel{(s-1)^2} \frac{(s-2)}{\cancel{(s-1)^2} (s-4)} \right)' \Big|_{s=1} \\
&= 2 \left(\frac{s-2}{s-4} \right)' \Big|_{s=1} \\
&= \frac{-4}{(s-4)^2} \Big|_{s=1} = -\frac{4}{9}
\end{aligned}$$

$$\begin{aligned}
C &= (s-1)^2 F(s)|_{s=1} \\
&= 2 \left(\frac{s-2}{s-4} \right) \Big|_{s=1} \\
&= \frac{2s-4}{s-4} \Big|_{s=1} = \frac{2}{3}
\end{aligned}$$

ed ottengo la *Risposta Totale* nel Dominio Complesso

$$V(s) = \frac{4}{9} \left(\frac{1}{s-4} \right) - \frac{4}{9} \left(\frac{1}{s-1} \right) + \frac{2}{3} \left(\frac{1}{(s-1)^2} \right)$$

3. Applico l'*Antitrasformata di Laplace* alla Risposta Totale

$$\begin{aligned}
v(t) &= \mathcal{L}^{-1}[V(s)] \\
&= \left(\frac{4}{9} e^{4t} - \frac{4}{9} e^t + \frac{2}{3} t e^t \right) \delta_{-1}(t)
\end{aligned}$$

12.4 Risposta di un Sistema Discreto

$$\begin{cases} v[n] - v[n-2] = u[n-1] + 2u[n-2] \\ v[-1] = 1 \\ v[n-2] = -2 \end{cases}$$

1. Risolvo l'equazione caratteristica

$$z^2 - 1 = 0$$

$$\Delta = 0 + 4 = 4$$

$$\lambda_{1,2} = \frac{0 \pm 2}{2} = 1 \text{ e } -1$$

e trovo l'Evoluzione Libera

$$v_l[n] = C_1(1)^n + C_2(-1)^n$$

2. Imposto il sistema con le condizioni iniziali

$$\begin{cases} C_1 - C_2 = 1 \\ C_1 + C_2 = -2 \rightarrow 2C_2 = -3 \rightarrow C_2 = -\frac{3}{2} \\ C_1 = -\frac{3}{2} + 1 \rightarrow C_1 = -\frac{1}{2} \\ C_2 = -\frac{3}{2} \end{cases}$$

e trovo la *Risposta Libera*

$$v_l[n] = -\frac{1}{2}(1)^n - \frac{3}{2}(-1)^n$$

3. Cerco Risposta Impulsiva

$$h[n] - h[n-2] = \delta[n-1] + 2\delta[n-2]$$

Risolvendo nella forma

$$h[n] = d_0\delta[n] + (d_1(1)^n + d_2(-1)^n)\delta_{-1}[n-1]$$

Calcolo gli $h[n]$ nel sistema per

- $n = 0$

$$h[0] - \underbrace{h[-2]}_{=0} = \underbrace{\delta[-1]}_{=0} + \underbrace{2\delta[-2]}_{=0} \rightarrow h[0] = 0$$

- $n = 1$

$$h[1] - \underbrace{h[-1]}_{=0} = \delta[0] + \underbrace{2\delta[-1]}_{=0} \rightarrow h[1] = 1$$

- $n = 2$

$$h[2] - h[0] = \underbrace{\delta[1]}_{=0} + 2\delta[0] \rightarrow h[2] = 2$$

Imposto il sistema

$$\begin{cases} d_0\delta[0] + (d_1(1)^0 + d_2(-1)^0) \underbrace{\delta_{-1}[-1]}_{=0} = 0 \\ \underbrace{d_0\delta[1]}_{=0} + (d_1(1) + d_2(-1)) \underbrace{\delta_{-1}[0]}_{=1} = 1 \\ \underbrace{d_0\delta[2]}_{=0} + (d_1(1)^2 + d_2(-1)^2) \underbrace{\delta_{-1}[1]}_{=1} = 2 \end{cases}$$

$$\begin{cases} d_0 = 0 \\ d_1 - d_2 = 1 \rightarrow d_1 = d_2 + 1 \rightarrow d_1 = \frac{3}{2} \\ d_1 + d_2 = 2 \rightarrow 2d_2 = 1 \rightarrow d_2 = \frac{1}{2} \end{cases}$$

Quindi

$$h[n] = \left(\frac{3}{2}\right)(1)^n + \frac{1}{2}(-1)^n\delta_{-1}[n-1]$$

4. Cerco *Risposta Forzata*

$$v_f[n] = \sum_{i=0}^n h[i]u[n-i]$$

5. *Risposta Totale*

$$\begin{aligned} v[n] &= v_l[n] + v_f[n] \\ &= -\frac{1}{2}(1)^n - \frac{3}{2}(-1)^n + \sum_{i=0}^n h[i]u[n-i] \end{aligned}$$

12.5 Risposta di un Sistema Discreto con Trasf. Zeta

$$\begin{cases} v[n] - v[n-2] = u[n-1] + 2u[n-2] \\ v[-1] = 1 \\ v[-2] = -2 \\ u[n] = (-1)^n \delta_{-1}[n] \end{cases}$$

1. Risolvo l'equazione caratteristica

$$\begin{aligned} z^2 - 1 &= 0 \\ \Delta &= 0 + 4 = 4 \end{aligned}$$

$$\lambda_{1,2} = \frac{0 \pm 2}{2} = 1 \text{ e } -1$$

2. Applico *Trasformata Zeta* al sistema

$$\begin{aligned} \mathcal{Z}[v[n] - v[n-2] &= u[n-1] + 2u[n-2]] \\ \downarrow \\ &= z^0 V(z) - z^{-2}(V(z) + z^1 v[-1] + z^2 v[-2]) = z^{-1}(U(z) z^1 \underbrace{u[-1]}_0) + \\ &\quad + z^{-2}(U(z) + z^1 \underbrace{u[-1]}_0 + z^2 \underbrace{u[-2]}_0) \\ &= z^0 V(z) - z^{-2} V(z) - z^{-1} + 2z^0 = z^{-1} U(z) + 2z^{-2} U(z) \end{aligned}$$

3. Moltiplico per z^n , ossia z^2 perchè ho 2 coefficienti

$$\begin{aligned} z^2 V(z) - z^0 V(z) - z^1 + 2z^2 &= z^1 U(z) + 2z^0 U(z) \\ (z^2 - 1)V(z) &= -2z^2 + z + (z + 2)U(z) \end{aligned}$$

$$V(z) = \frac{z(-2z+1)}{(z-1)(z+1)} + \frac{z+2}{(z-1)(z+1)} U(z)$$

da cui possiamo capire che

- $V_l(z) = \frac{z(-2z+1)}{(z-1)(z+1)}$
- $H(z) = \frac{z+2}{(z-1)(z+1)}$
- $U(z) = \mathcal{Z}[u[n]] = \frac{z}{z+1}$

quindi

$$\begin{aligned}
 V(z) &= \frac{z(-2z+1)}{(z-1)(z+1)} + \frac{z+2}{(z-1)(z+1)} \cdot \frac{z}{z+1} \\
 &= \frac{z(-2z+1)}{(z-1)(z+1)} + \frac{z^2+2z}{(z-1)(z+1)^2} \\
 &= \frac{z^2+2z+(z+1)(-2z^2+z)}{(z-1)(z+1)^2} \\
 &= \frac{z(-2z^2+3)}{(z-1)(z+1)^2} \\
 &= A \frac{z}{z-1} + B \frac{z}{z+1} + C \frac{z}{(z+1)^2}
 \end{aligned}$$

4. Risolvo con il *Metodo dei Fratti Semplici*

$$\begin{aligned}
 A &= (z-1) \frac{V(z)}{z} \Big|_{z=1} \\
 &= \cancel{(z-1)} \left(\frac{-2z^2+3}{\cancel{(z-1)}(z+1)^2} \right) \Big|_{z=1} \\
 &= \frac{-2z^2+3}{(z+1)^2} \Big|_{z=1} = \frac{1}{4} \\
 B &= \left(\cancel{(z+1)^2} \left(\frac{-2z^2+3}{(z-1)\cancel{(z+1)^2}} \right) \right)' \Big|_{z=-1} \\
 &= \frac{-4z^2+4z+2z^2-3}{(z-1)^2} \Big|_{z=-1} \\
 &= \frac{-2z^2+4z-3}{(z-1)^2} \Big|_{z=-1} = -\frac{9}{4} \\
 C &= \cancel{(z+1)^2} \left(\frac{-2z^2+3}{(z-1)\cancel{(z+1)^2}} \right) \Big|_{z=-1} \\
 &= \frac{-2z^2-3}{z-1} \Big|_{z=-1} \\
 &= -\frac{1}{2}
 \end{aligned}$$

Quindi

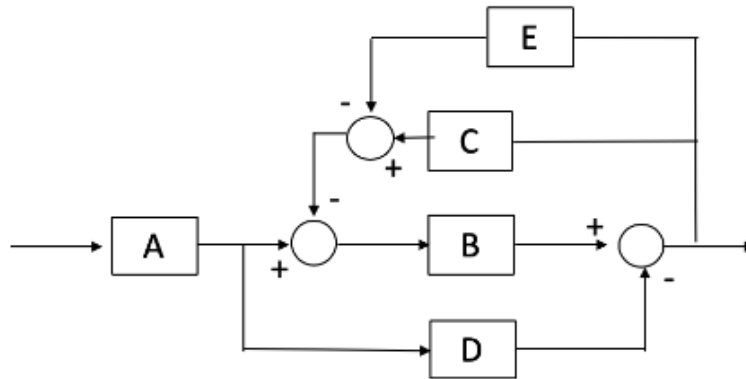
$$V(z) = \frac{1}{4} \left(\frac{z}{z-1} \right) - \frac{9}{4} \left(\frac{z}{z+1} \right) - \frac{1}{2} \left(\frac{z}{(z+1)^2} \right)$$

5. Applico l'Antitrasformata Zeta

$$v[n] = \mathcal{Z}^{-1}[V(z)]$$

$$= \left(\frac{1}{4}(1)^n - \frac{9}{4}(-1)^n - \frac{1}{2}n(-1)^n \right) \delta_{-1}[n]$$

12.6 Metodo di Mason Semplificazione Schemi a Blocchi



1. Cerco tutti i *percorsi* P_i e tutti i *cicli* P_{ij} nel grafo

$P_1 = AB$	$P_{11} = -BC$
$P_2 = -AD$	$P_{12} = BE$

2. Calcolo Δ

$$\Delta = 1 - (BE - BC) = 1 - BE + BC$$

3. Calcolo la *Funzione di Trasferimento*

$$FdT = \frac{AB - AD}{1 - BE + BC}$$